

Fig. 1 Row Direction

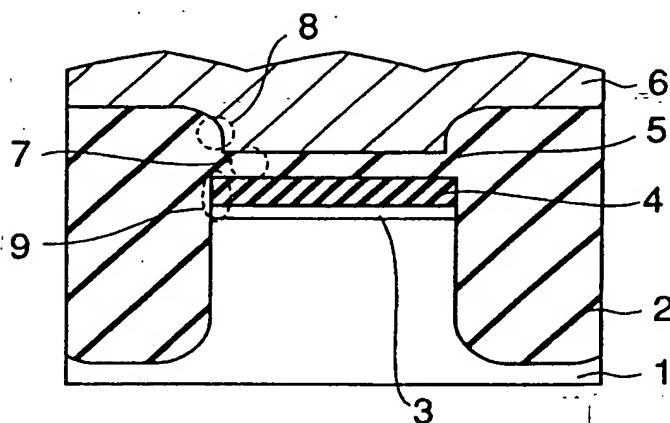


Fig. 2

200210 218447US2TTC

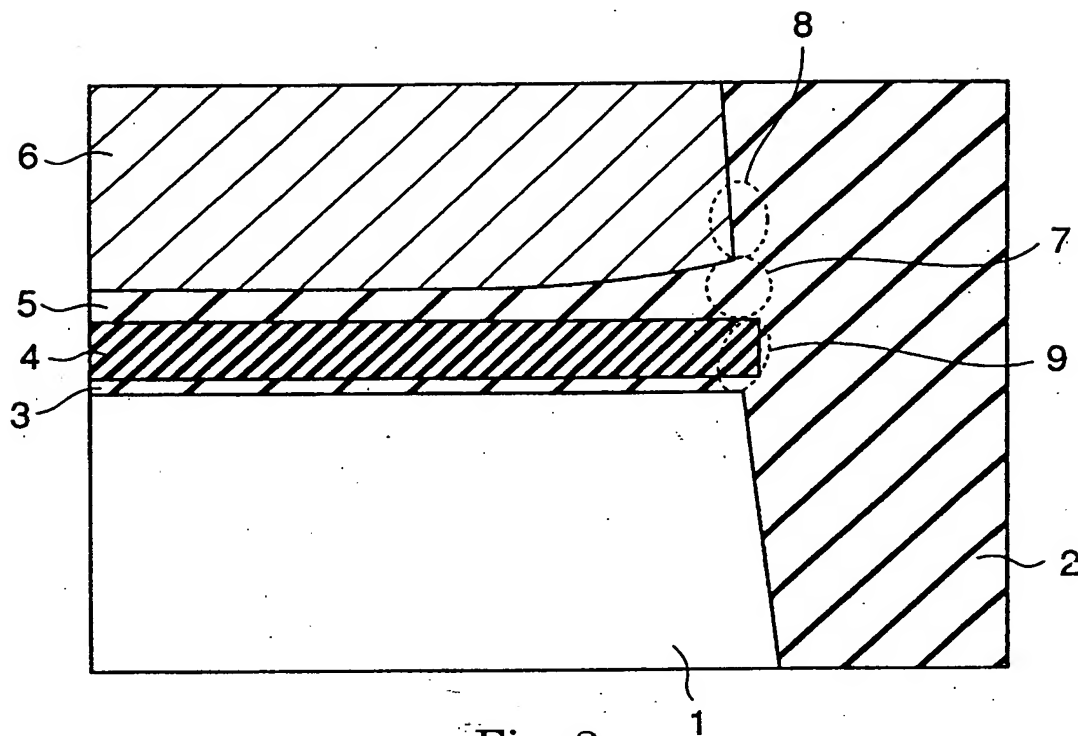


Fig. 3

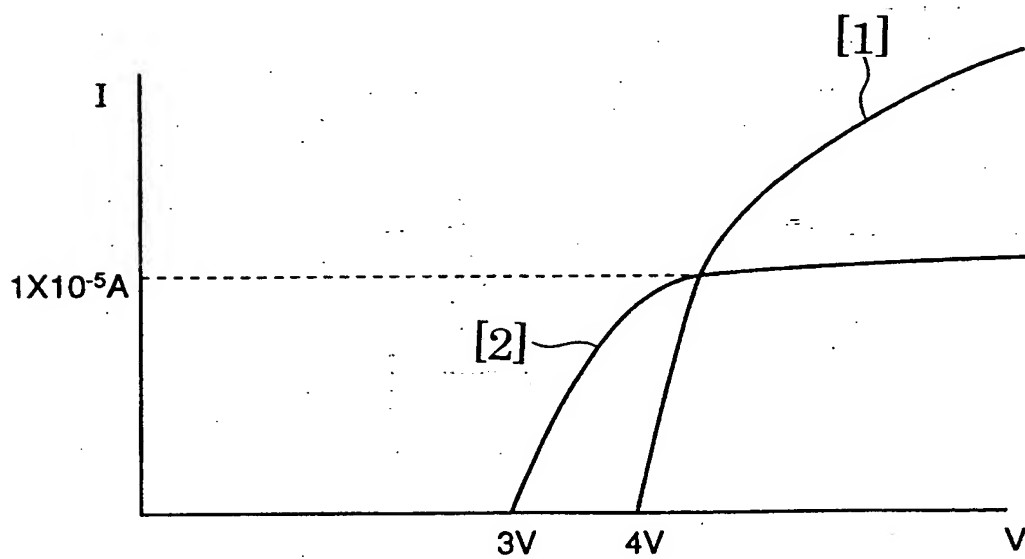


Fig. 4

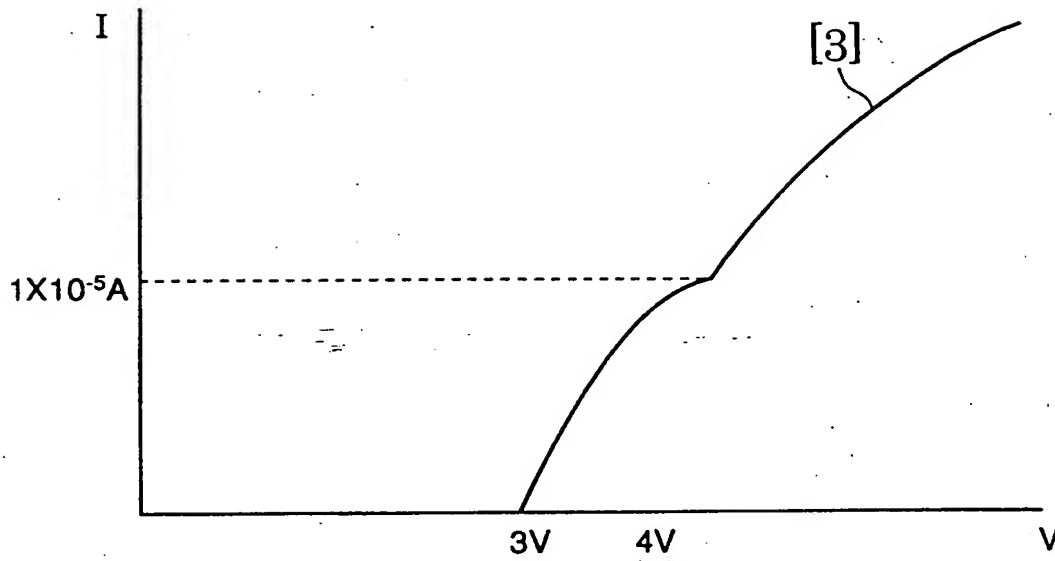


Fig. 5

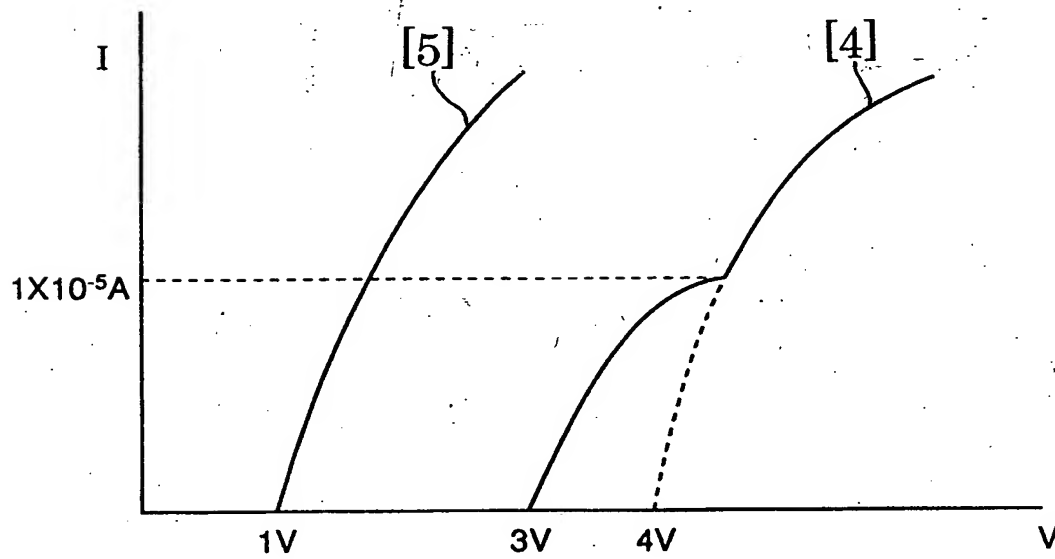


Fig. 6

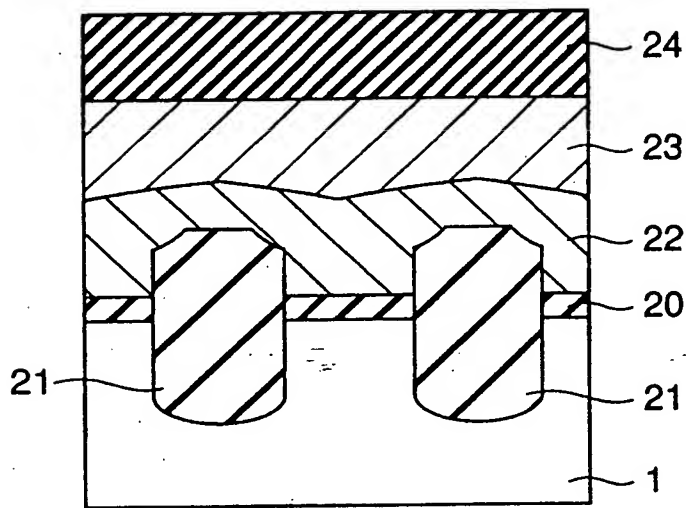


Fig. 7

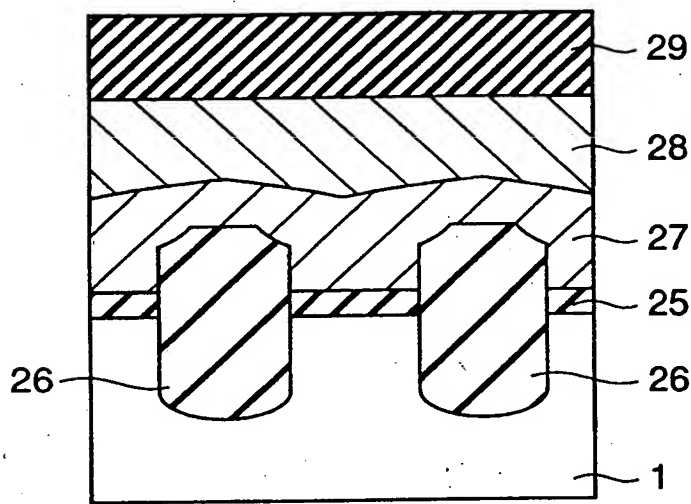


Fig. 8

20251013 10:53:03

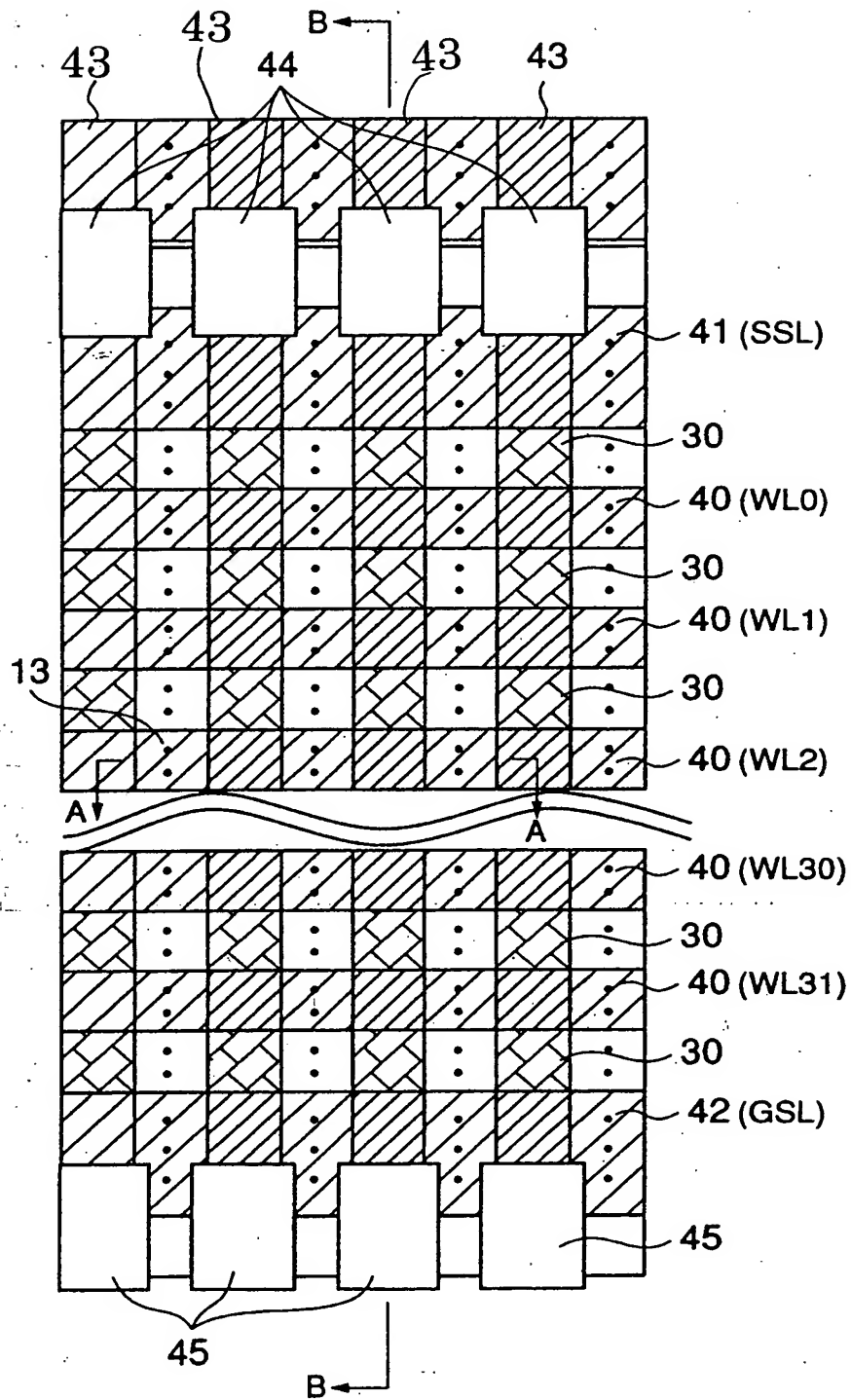


Fig. 9

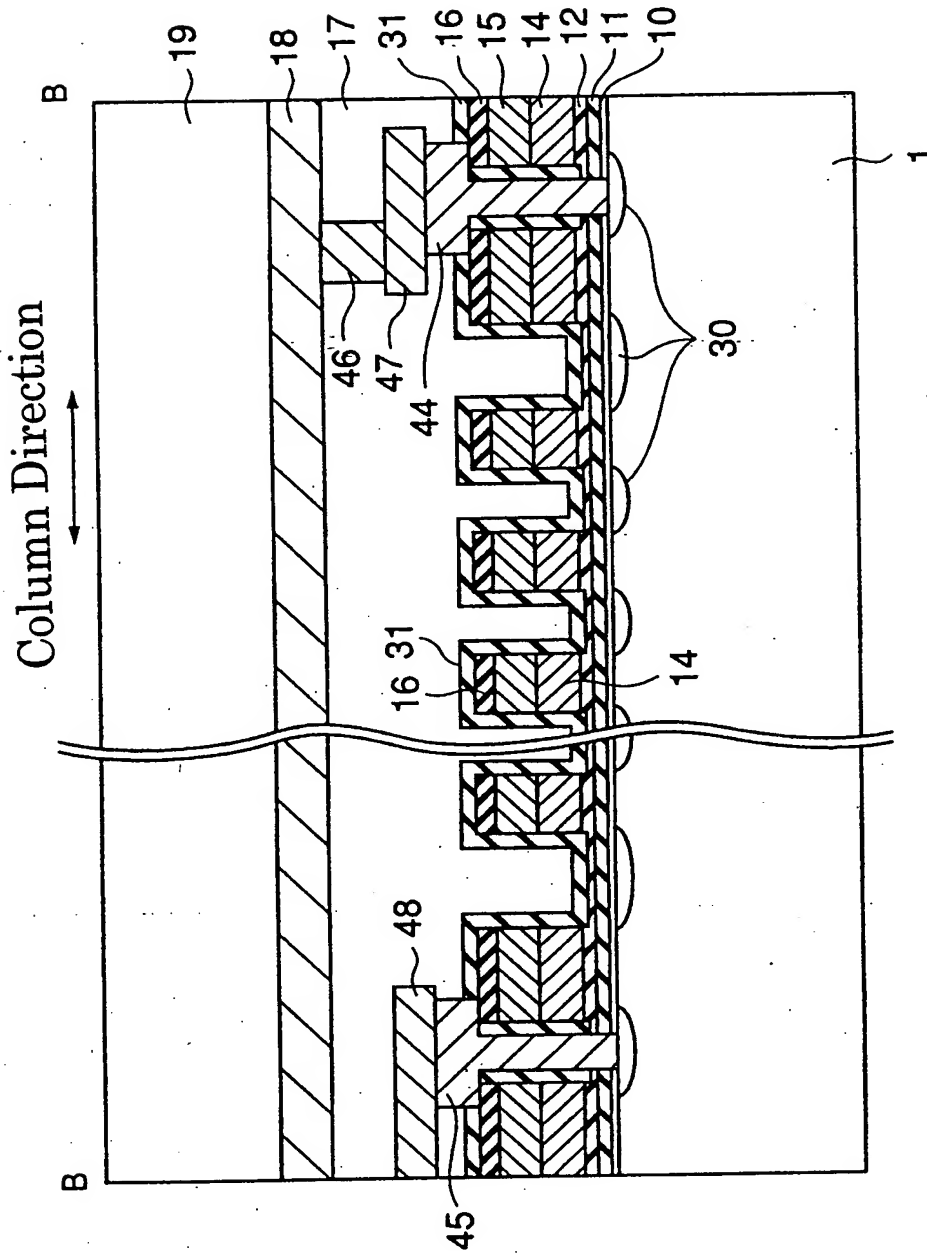


Fig. 10

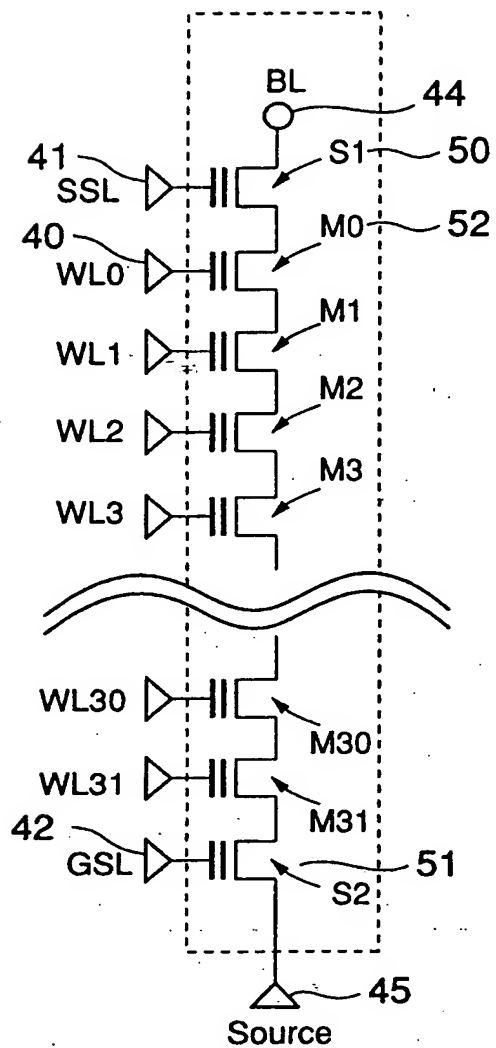


Fig. 11

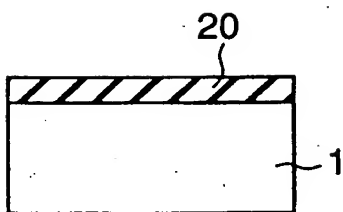


Fig. 12A

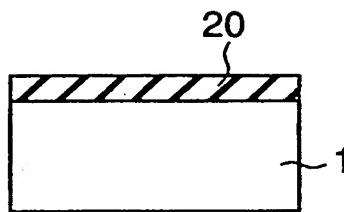


Fig. 12B

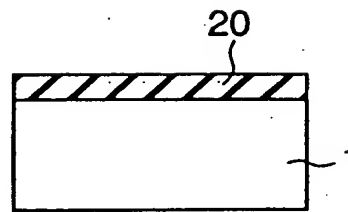
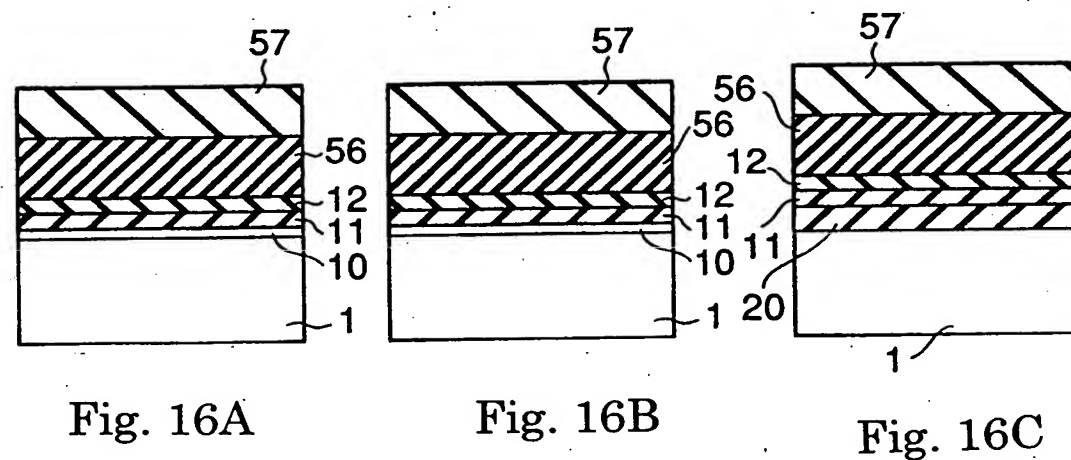
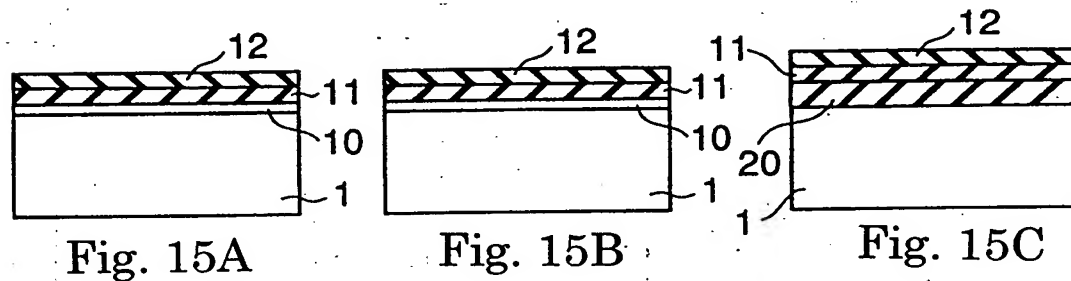
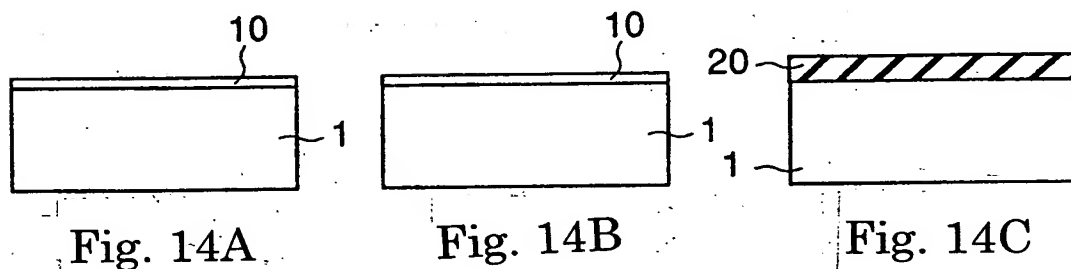
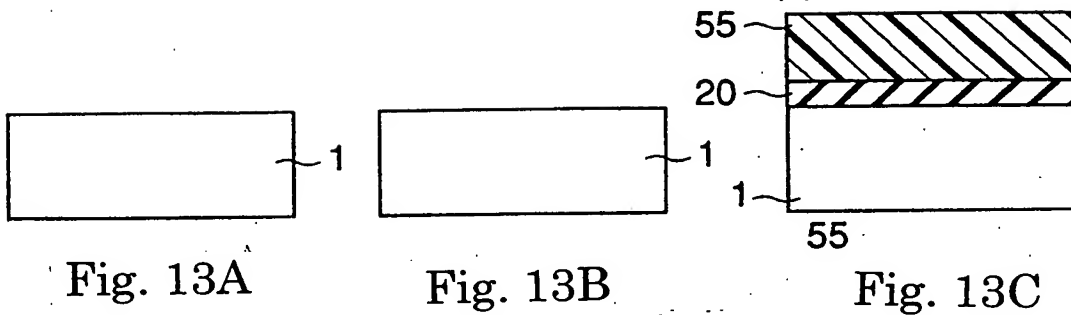


Fig. 12C



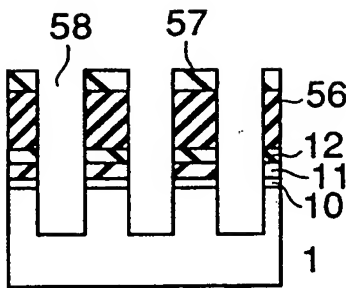


Fig. 17A

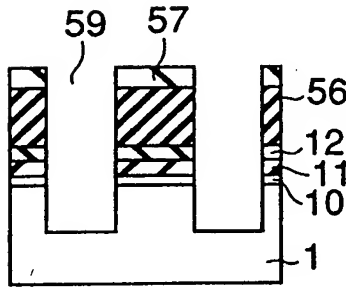


Fig. 17B

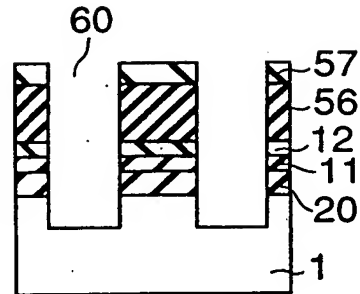


Fig. 17C

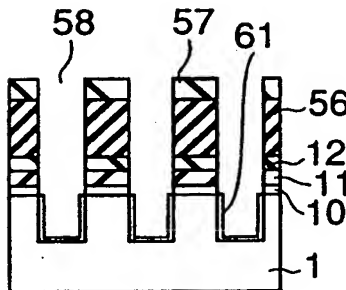


Fig. 18A

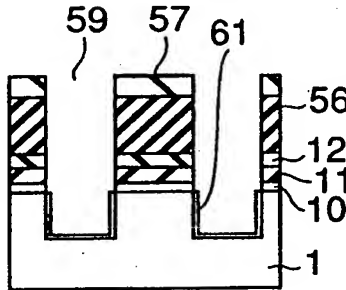


Fig. 18B

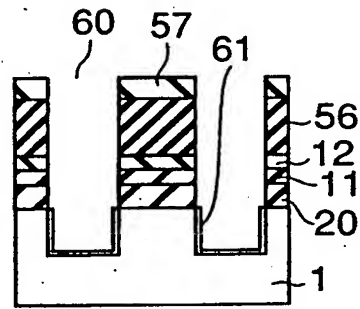


Fig. 18C

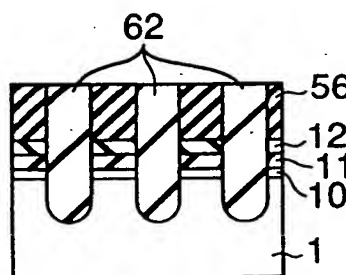


Fig. 19A

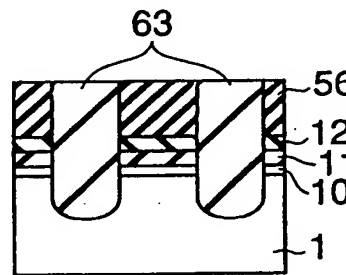


Fig. 19B

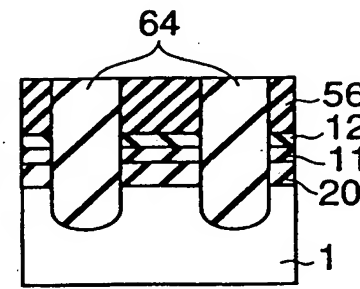


Fig. 19C

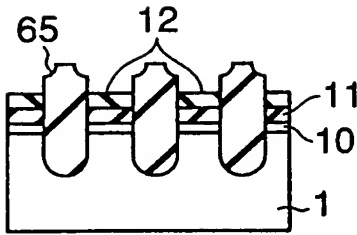


Fig. 20A

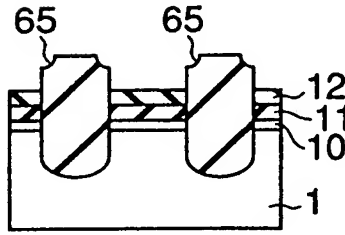


Fig. 20B

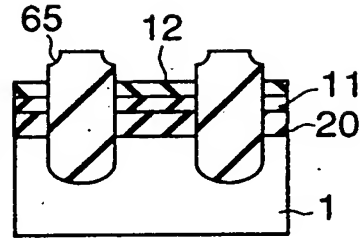


Fig. 20C

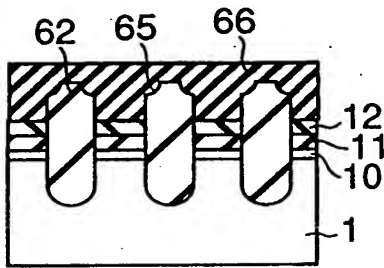


Fig. 21A

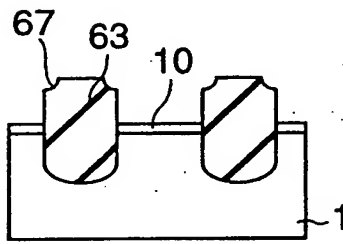


Fig. 21B

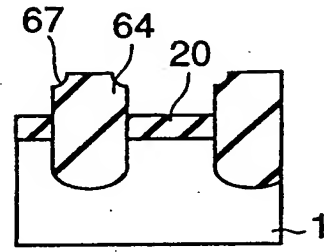


Fig. 21C

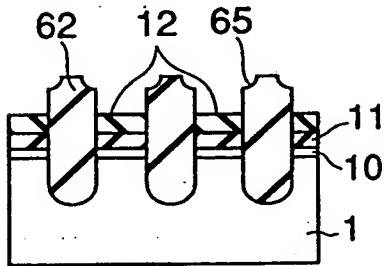


Fig. 22A

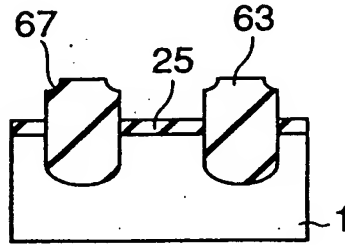


Fig. 22B

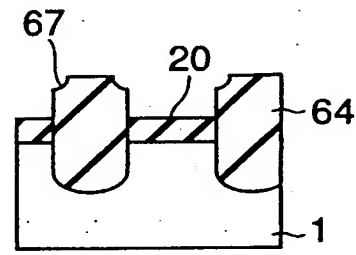


Fig. 22C

2025-01-20 10:00:00

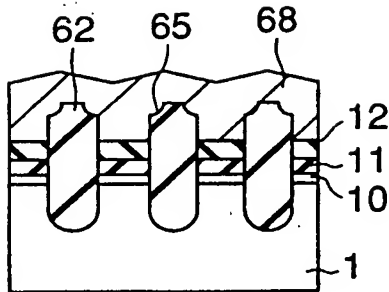


Fig. 23A

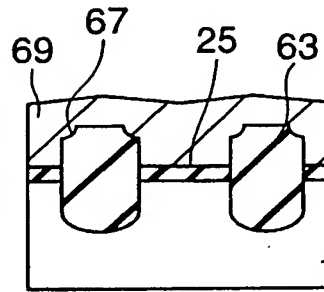


Fig. 23B

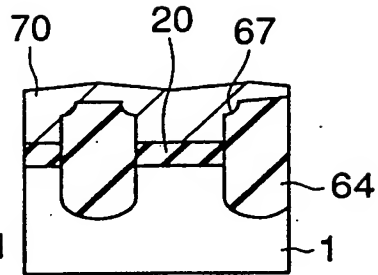


Fig. 23C

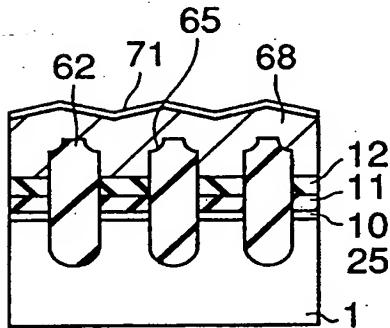


Fig. 24A

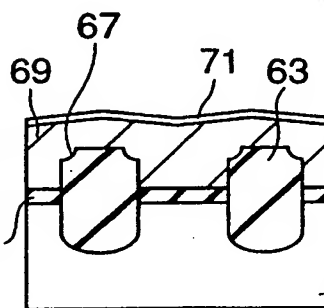


Fig. 24B

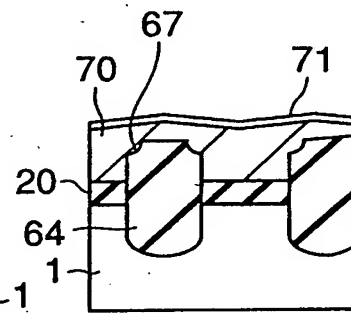


Fig. 24C

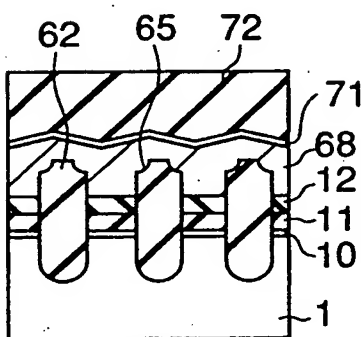


Fig. 25A

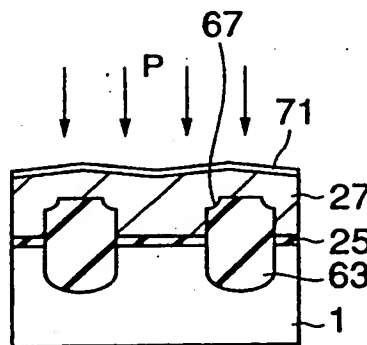


Fig. 25B

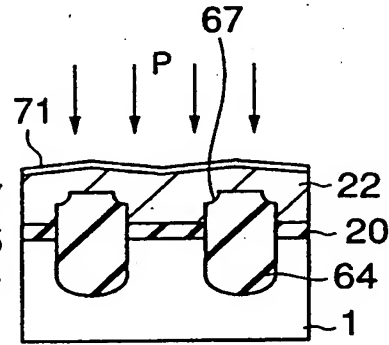


Fig. 25C

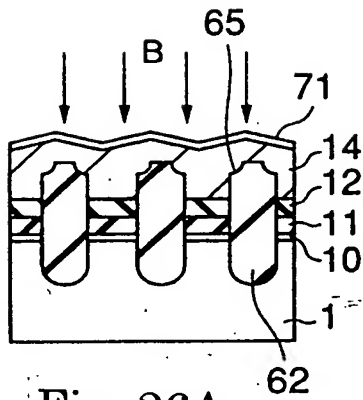


Fig. 26A

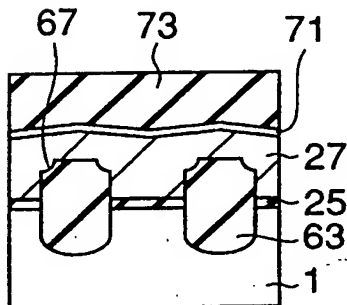


Fig. 26B

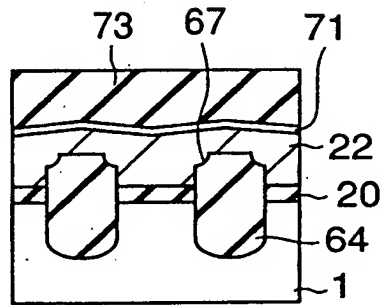


Fig. 26C

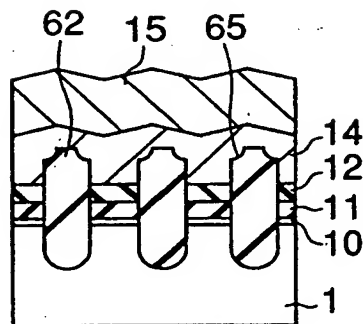


Fig. 27A

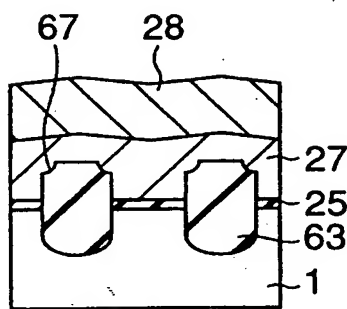


Fig. 27B

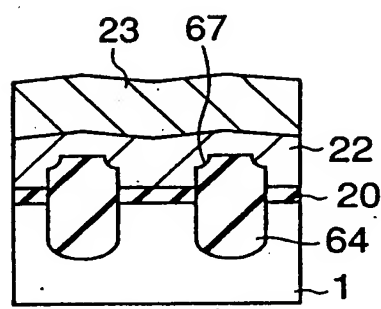
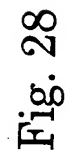


Fig. 27C

200210 21685001



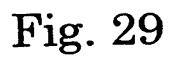


Fig. 29

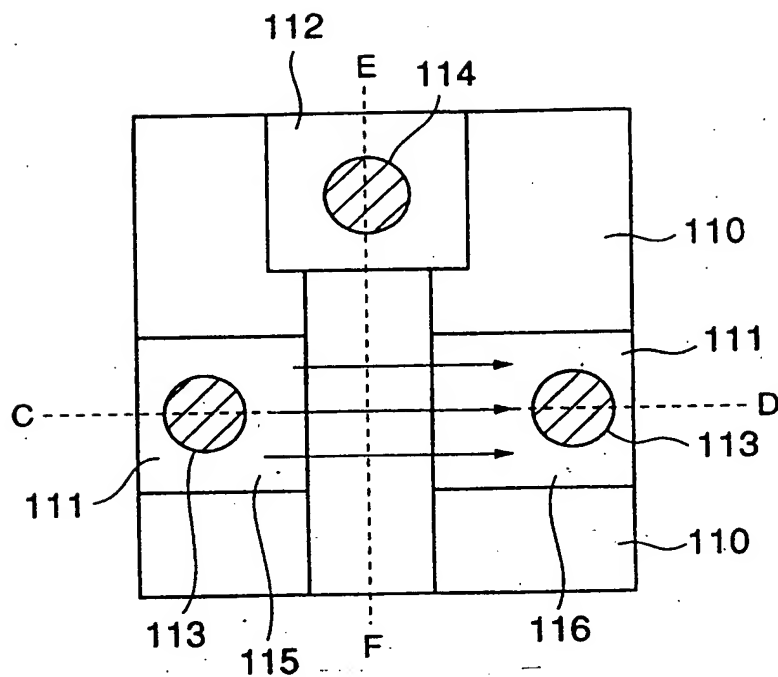


Fig. 30A

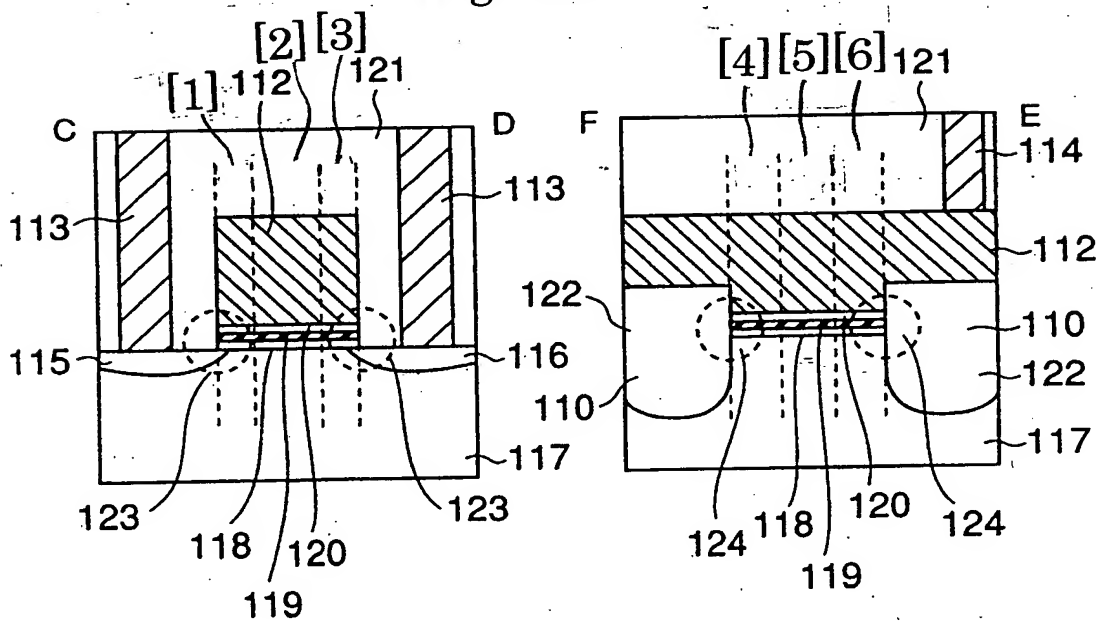


Fig. 30B

Fig. 30C

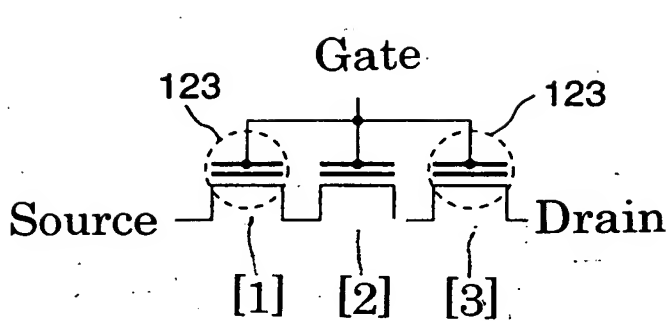


Fig. 31A

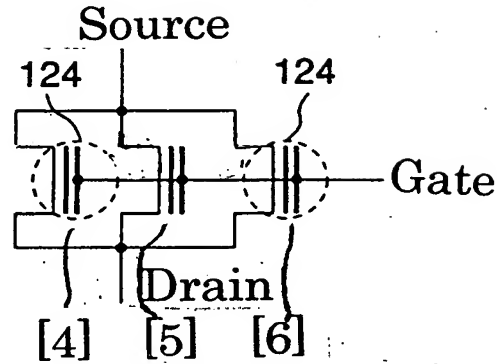


Fig. 31B

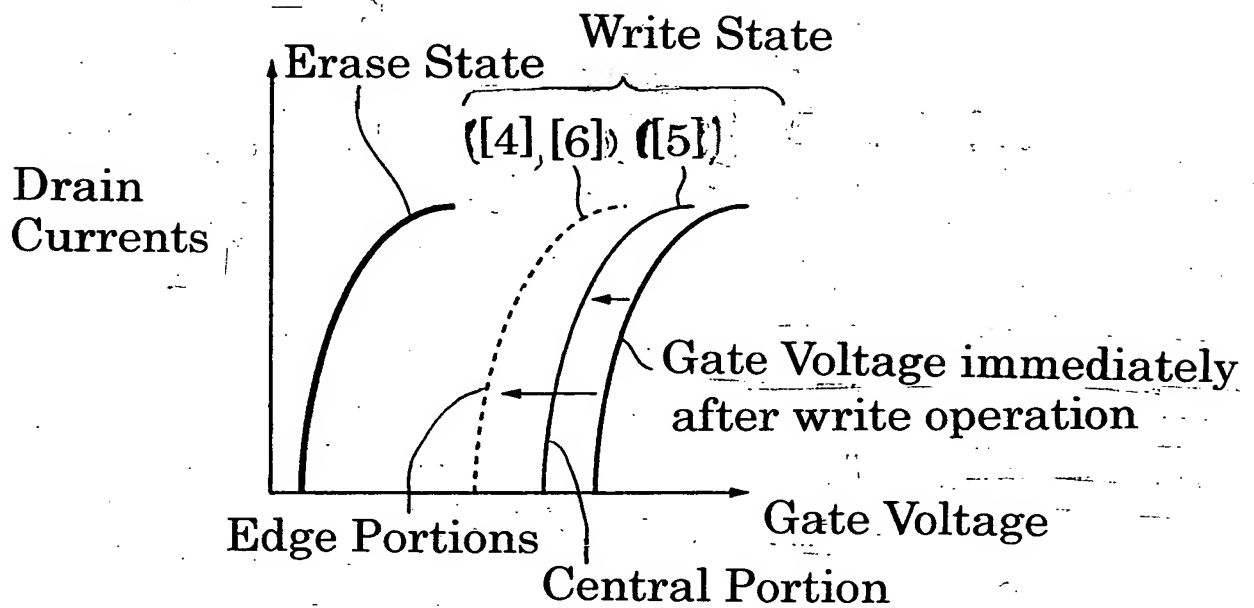


Fig. 31C

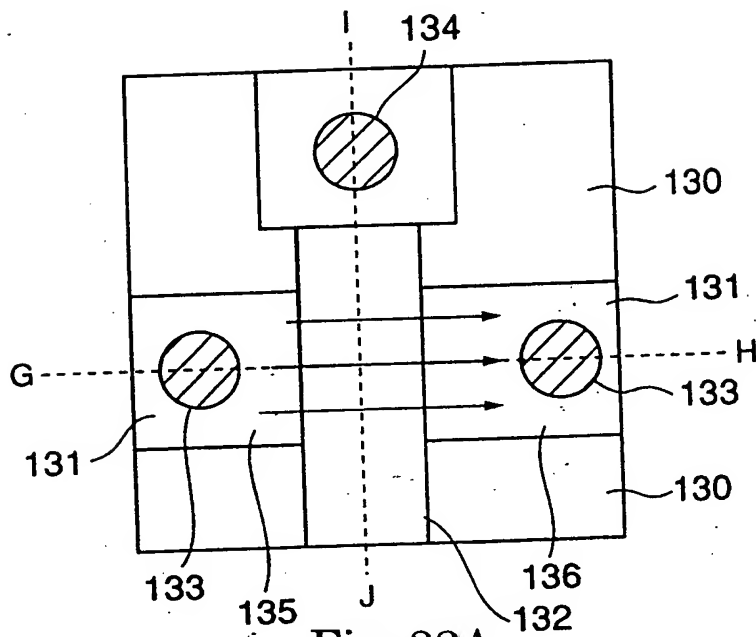


Fig. 32A

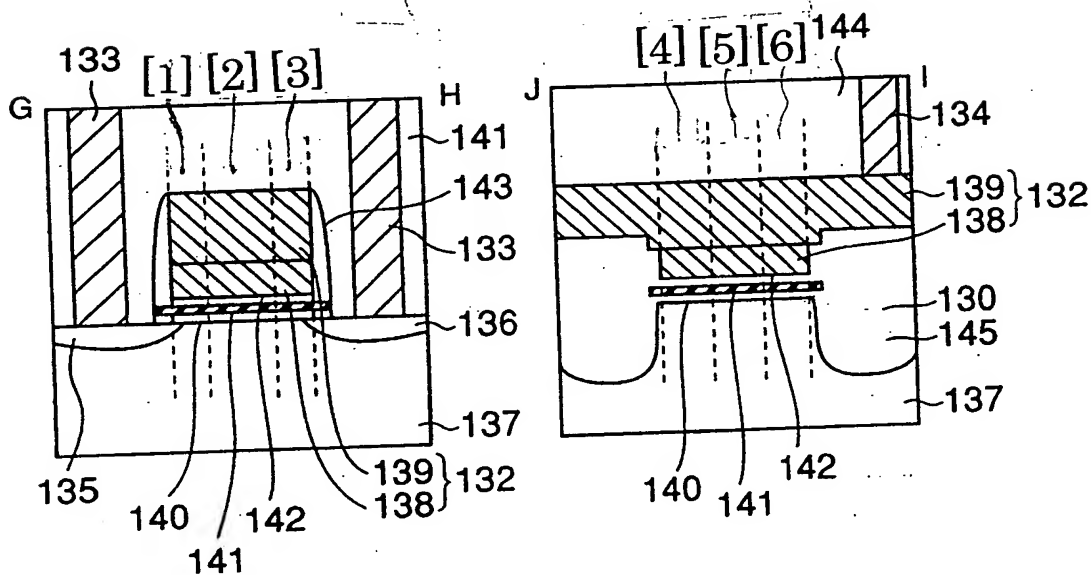


Fig. 32B

Fig. 32C

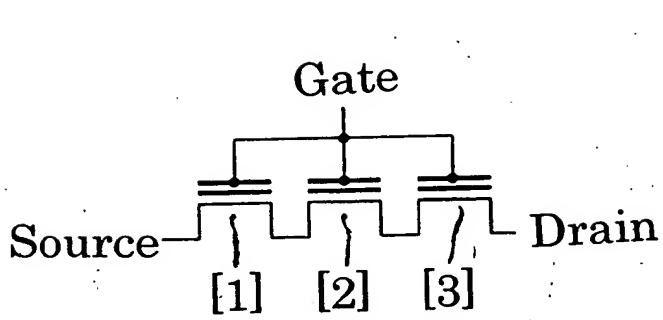


Fig. 33A

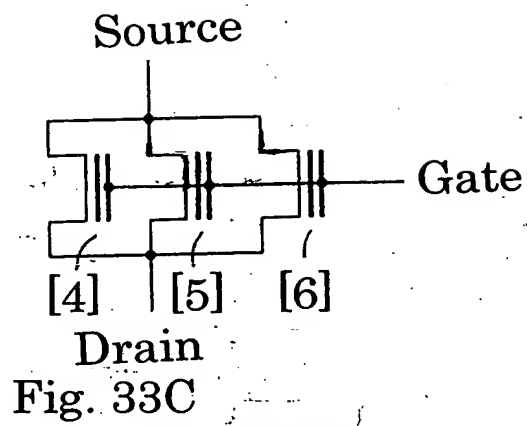


Fig. 33C

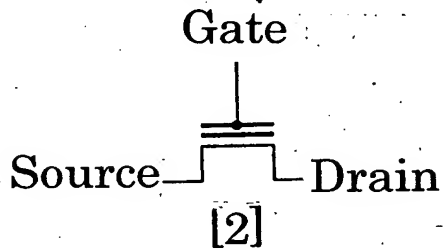


Fig. 33B

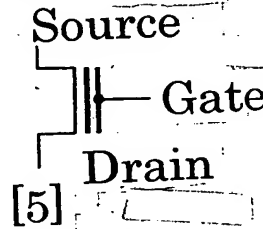


Fig. 33D

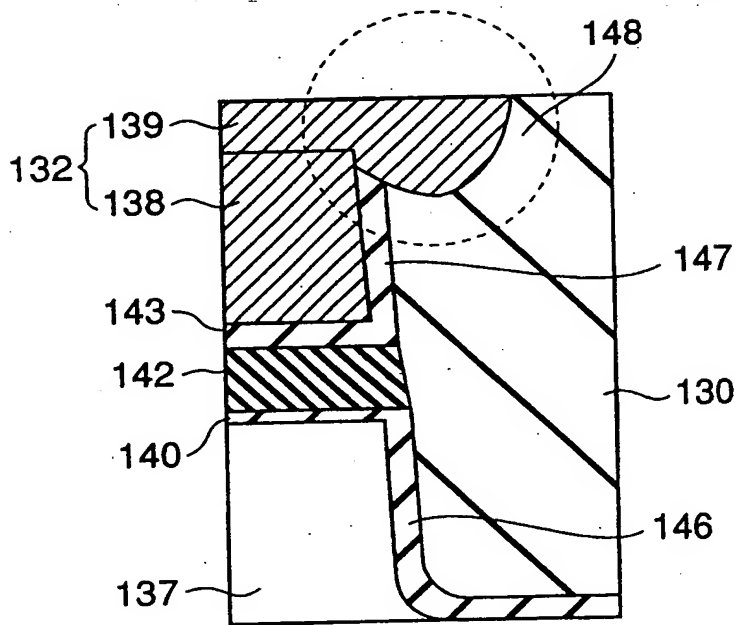


Fig. 34

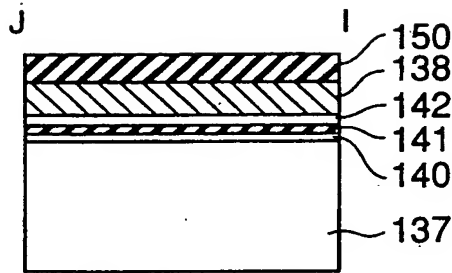


Fig. 35A

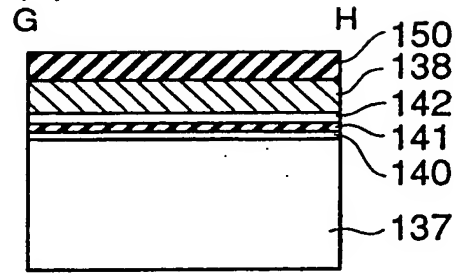


Fig. 35B

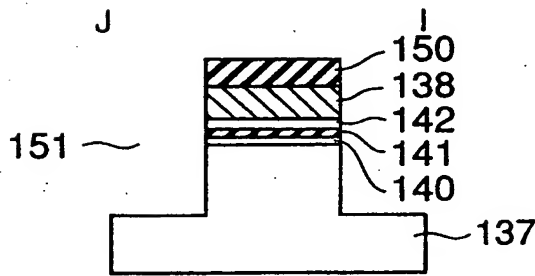


Fig. 36A

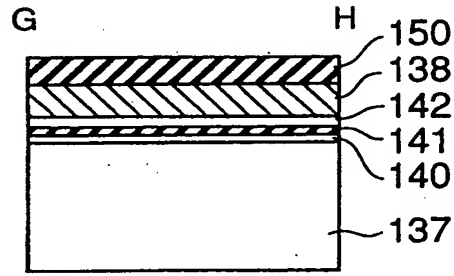


Fig. 36B

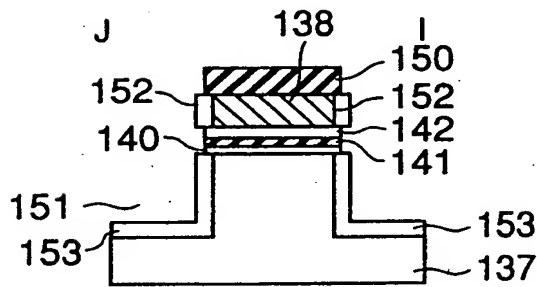


Fig. 37A

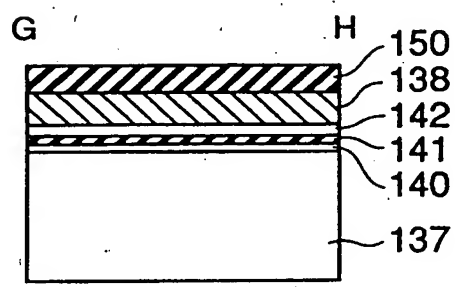


Fig. 37B

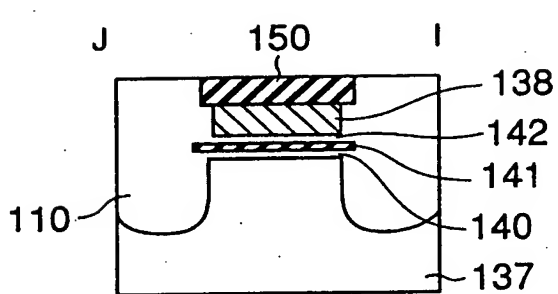


Fig. 38A

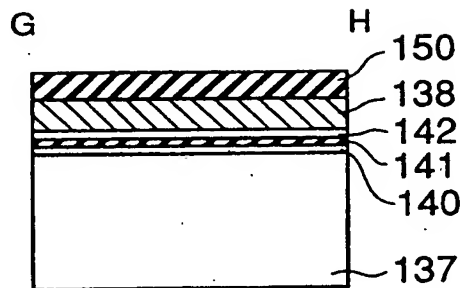


Fig. 38B

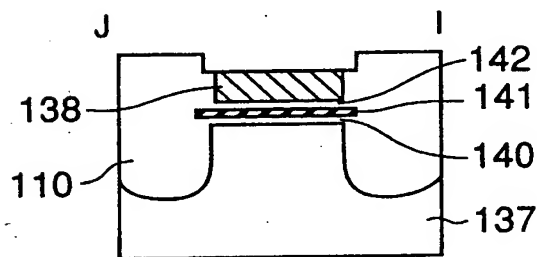


Fig. 39A

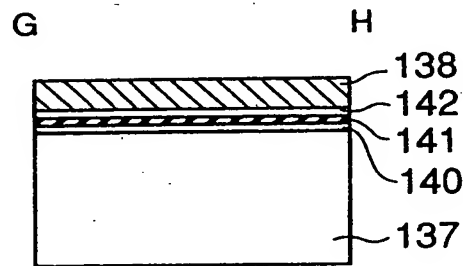


Fig. 39B

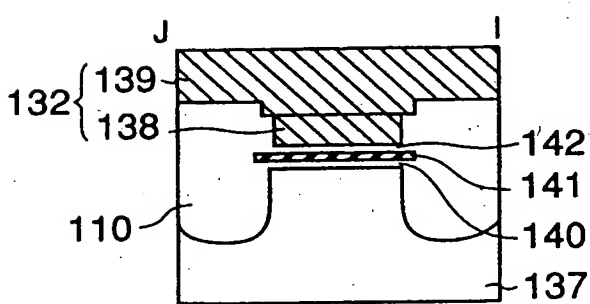


Fig. 40A

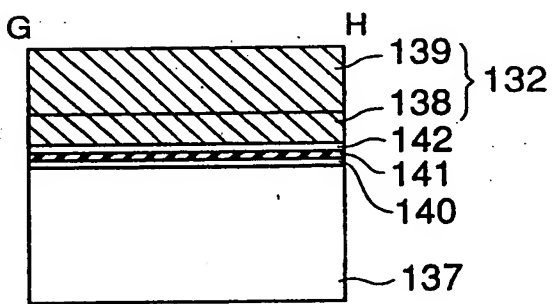


Fig. 40B

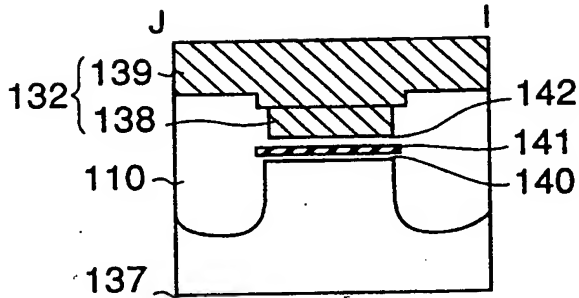


Fig. 41A

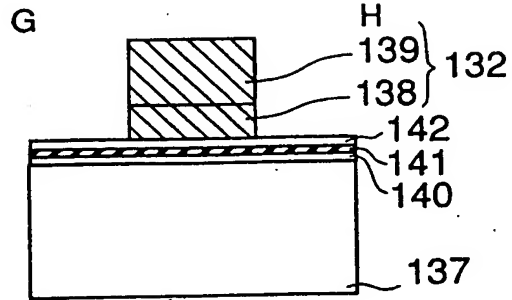


Fig. 41B

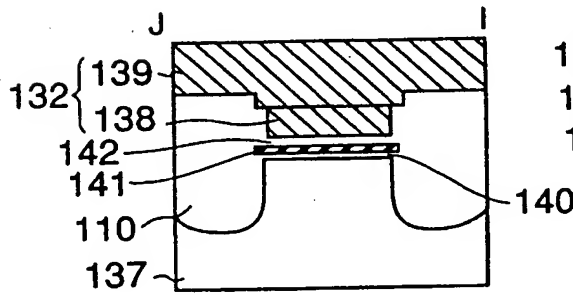


Fig. 42A

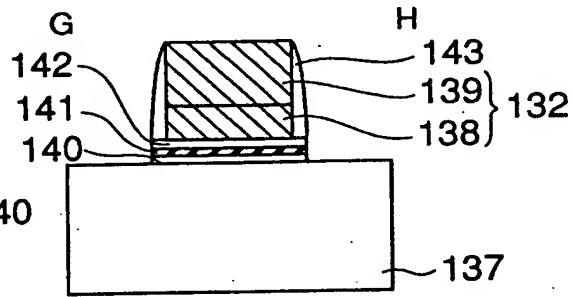


Fig. 42B

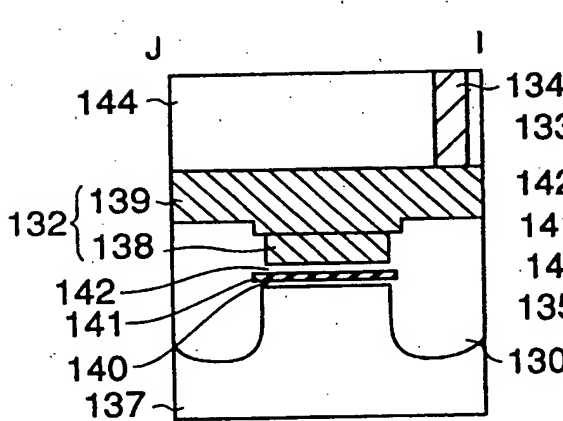


Fig. 43A

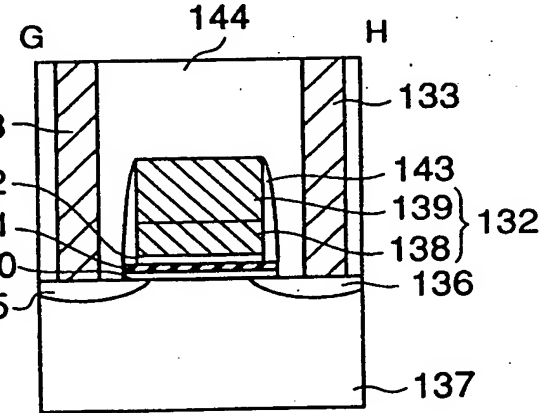


Fig. 43B

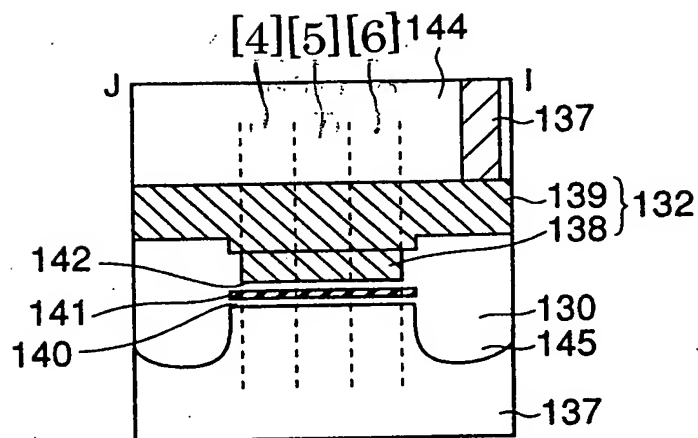


Fig. 44

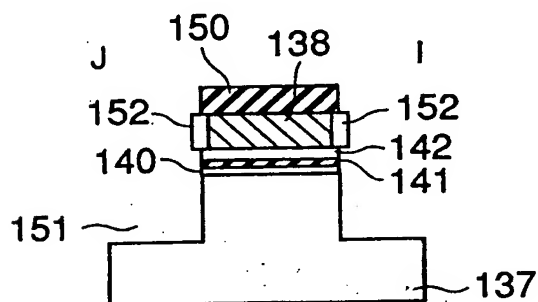


Fig. 45

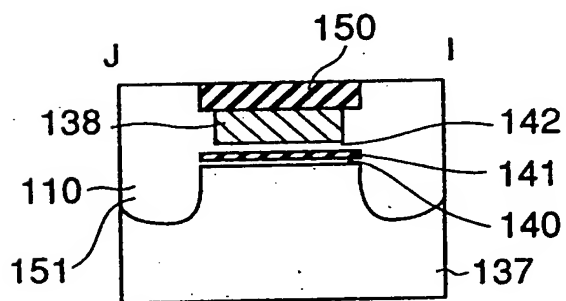


Fig. 46

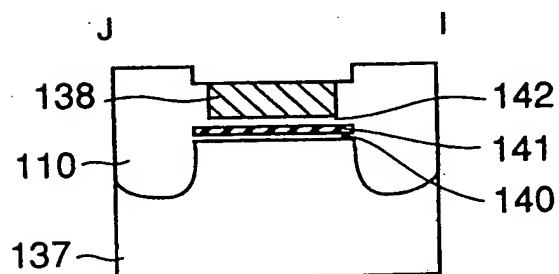
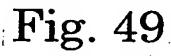
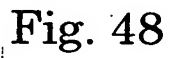


Fig. 47



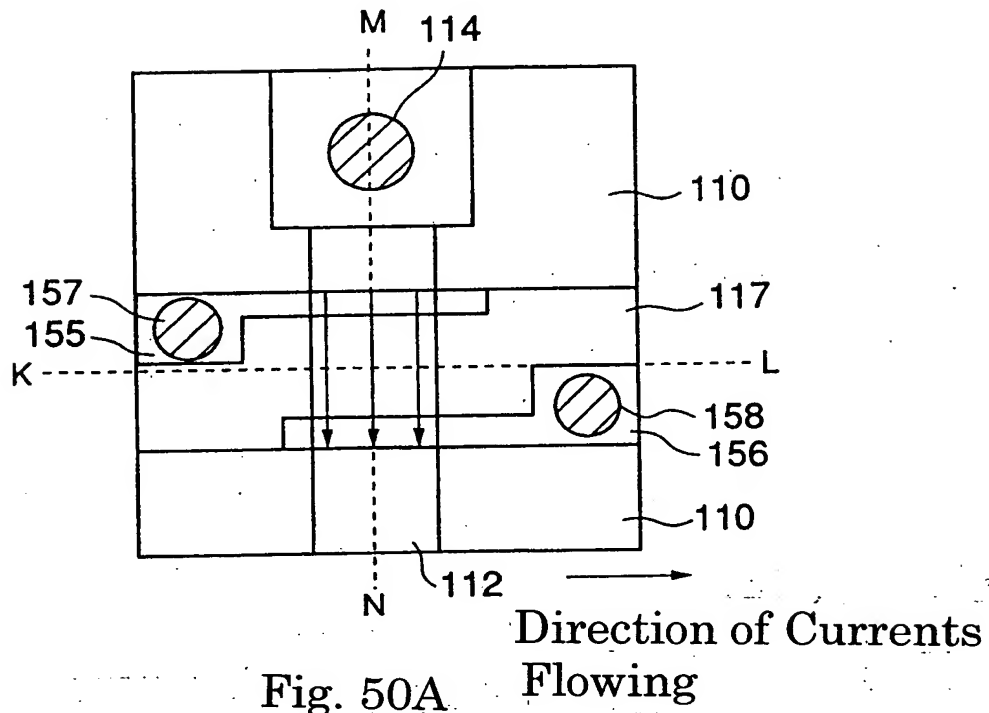


Fig. 50A

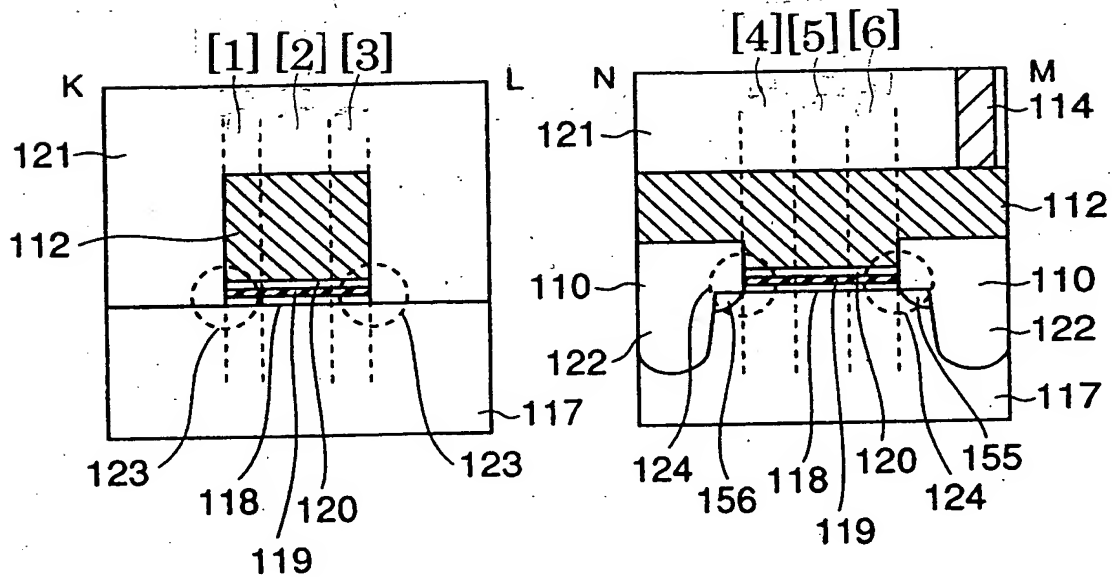


Fig. 50B

Fig. 50C

20060929 09:46:53

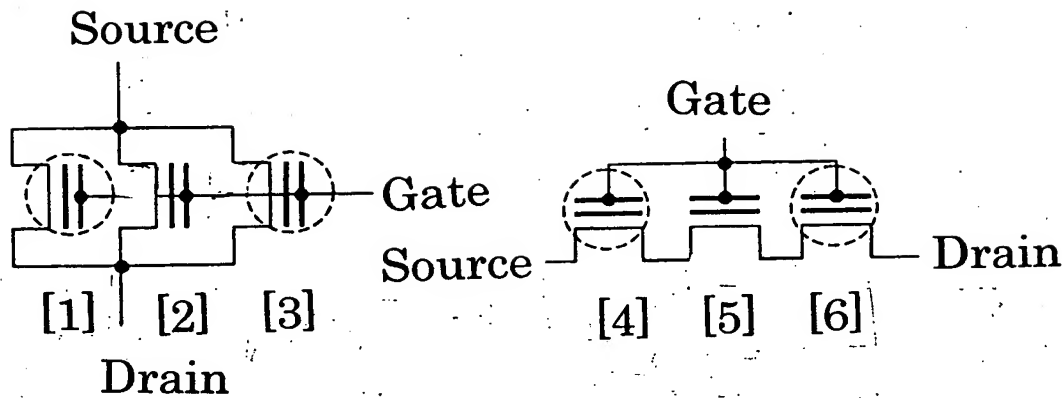


Fig. 51A

Fig. 51B

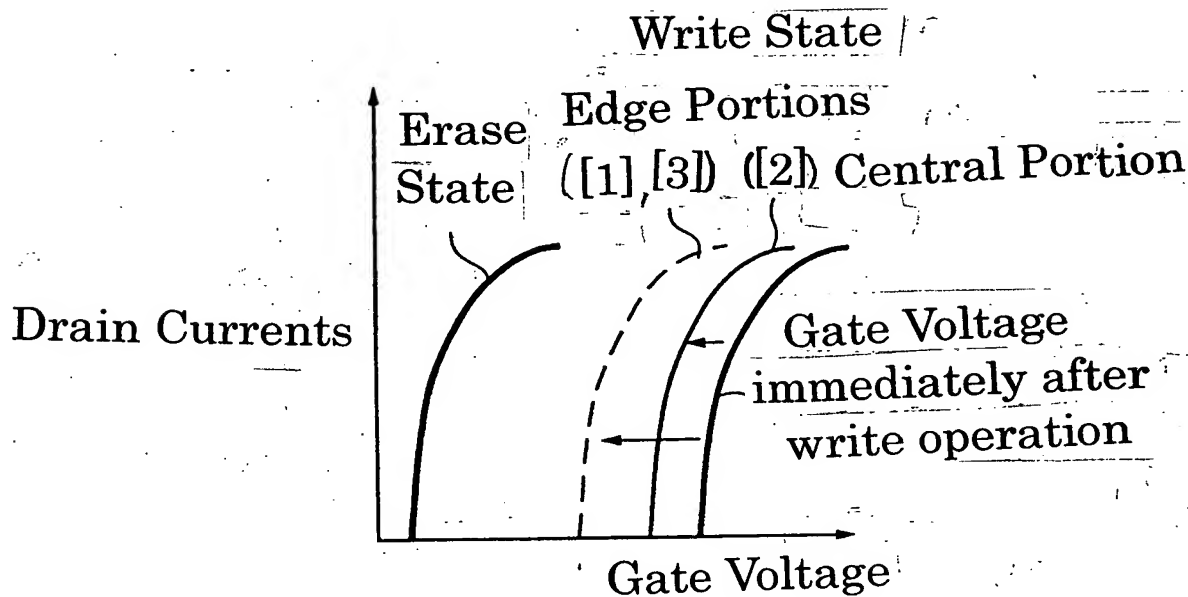


Fig. 51C

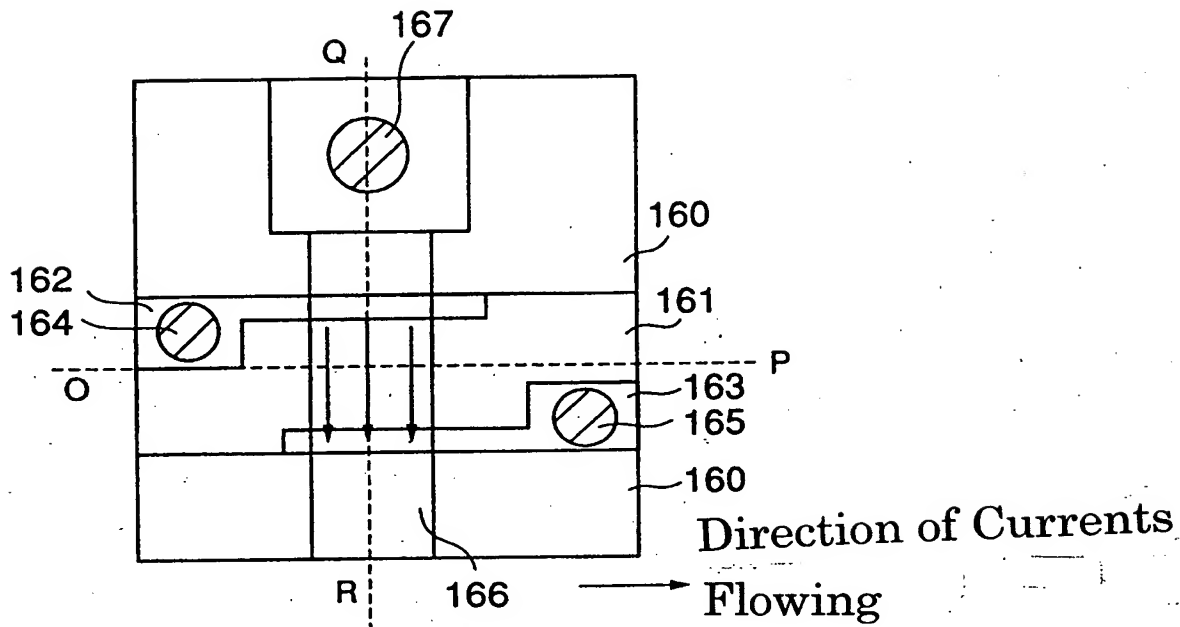


Fig. 52A

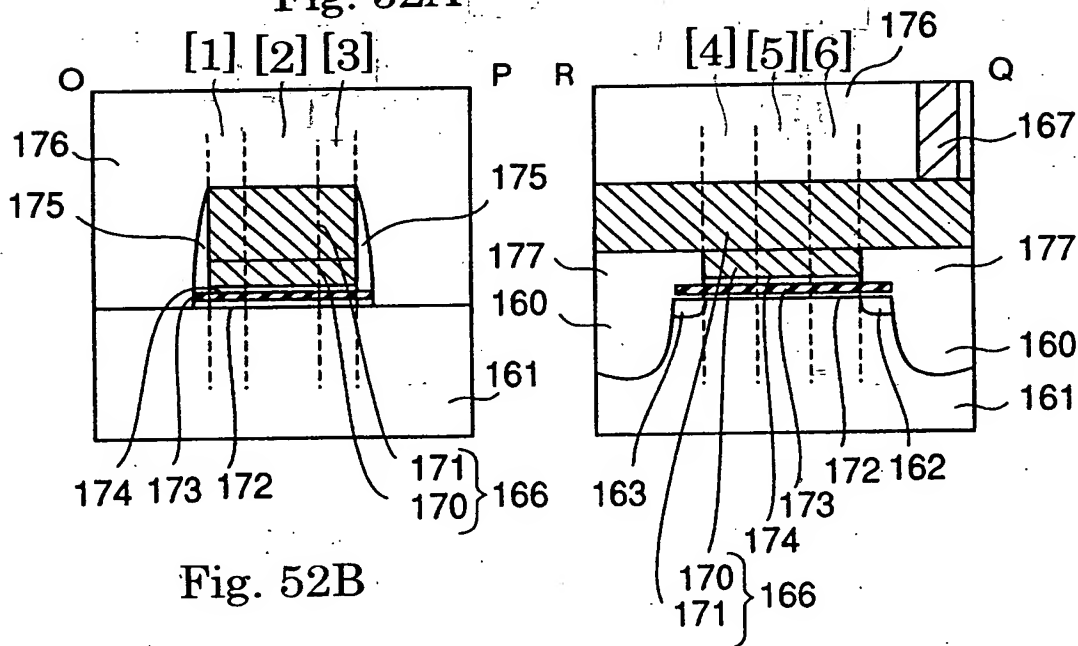


Fig. 52B

Fig. 52C

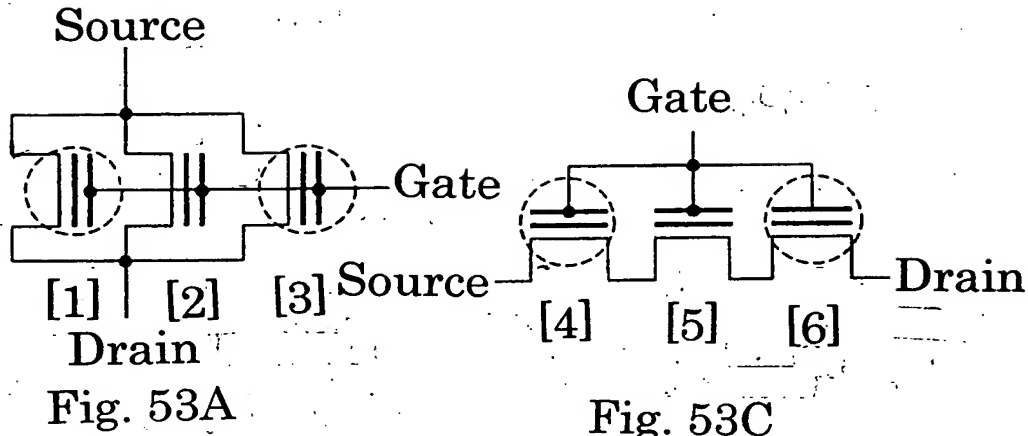


Fig. 53A

Fig. 53C

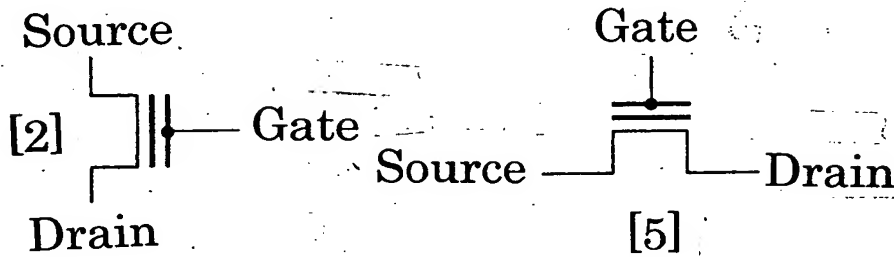


Fig. 53B

Fig. 53D

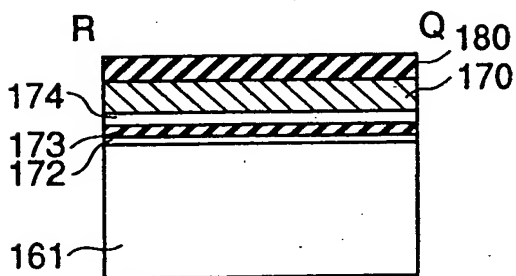


Fig. 54A

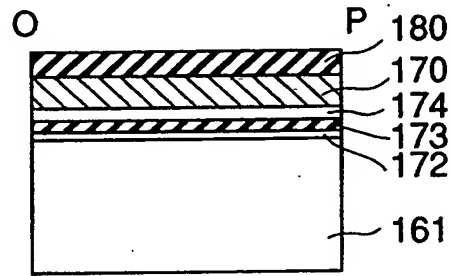


Fig. 54B

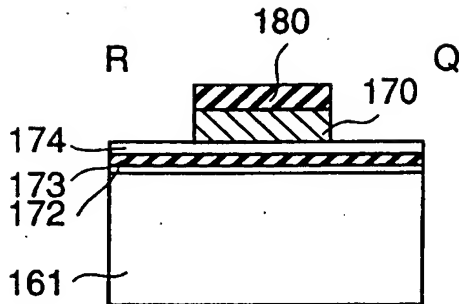


Fig. 55A

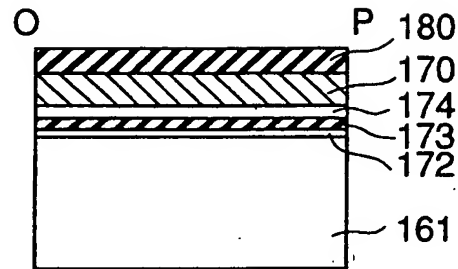


Fig. 55B

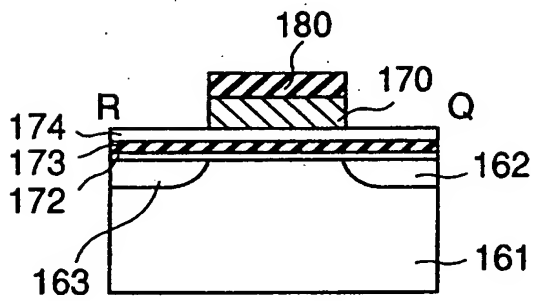


Fig. 56A

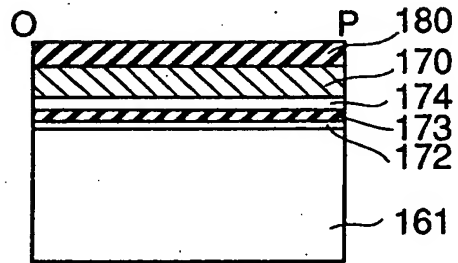


Fig. 56B

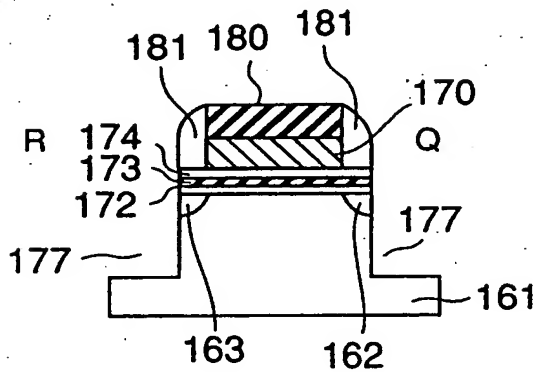


Fig. 57A

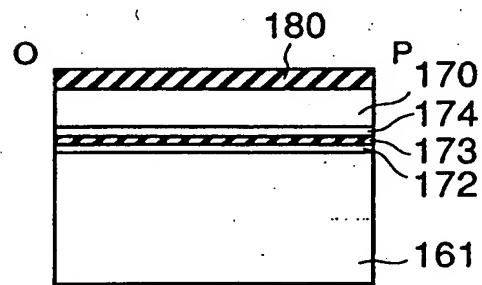


Fig. 57B

SHEET 28 OF 49

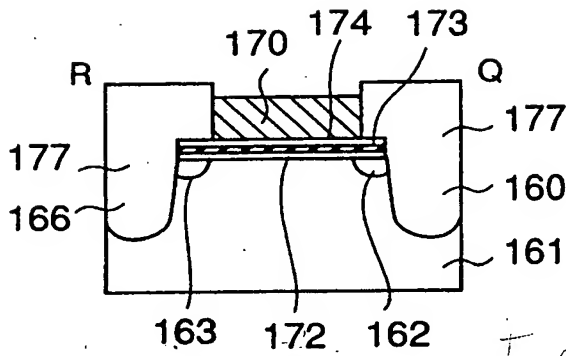


Fig. 58A

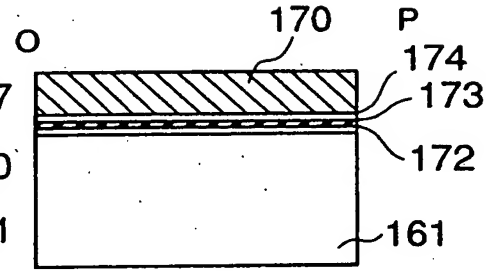


Fig. 58B

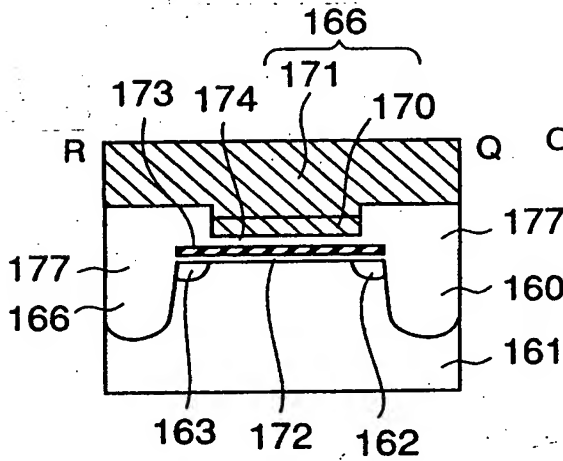


Fig. 59A

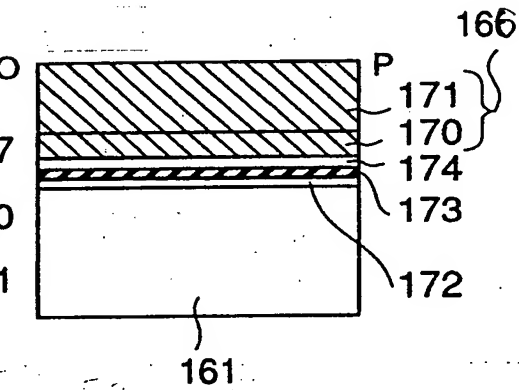


Fig. 59B

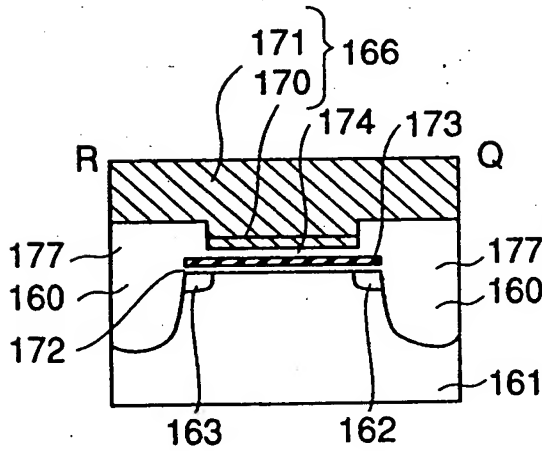


Fig. 60A

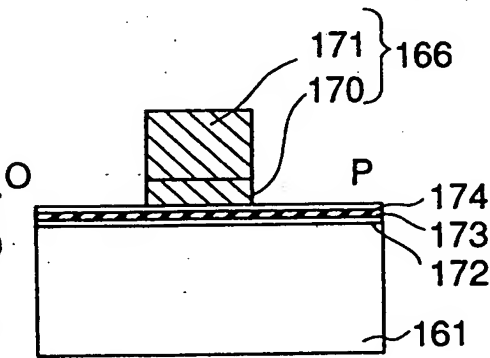


Fig. 60B

2025-10-29 10:55:00

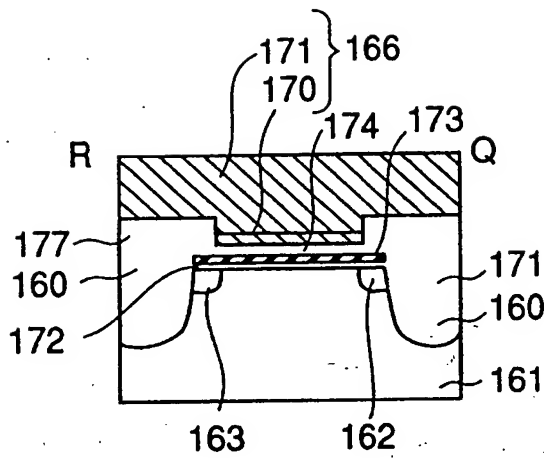


Fig. 61A

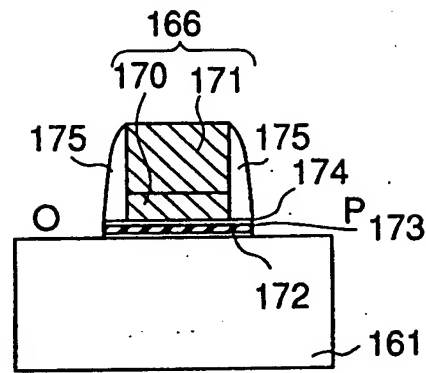


Fig. 61B

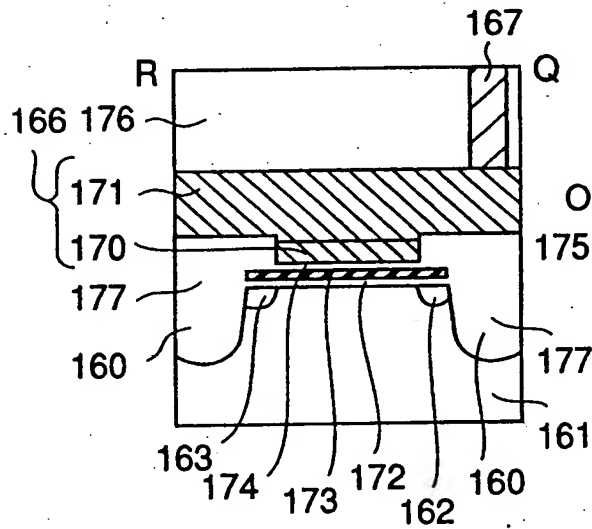


Fig. 62A

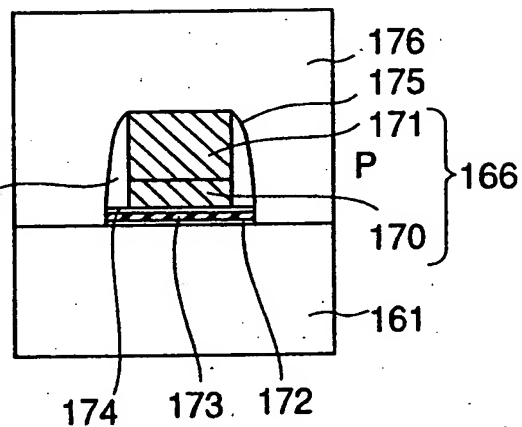


Fig. 62B

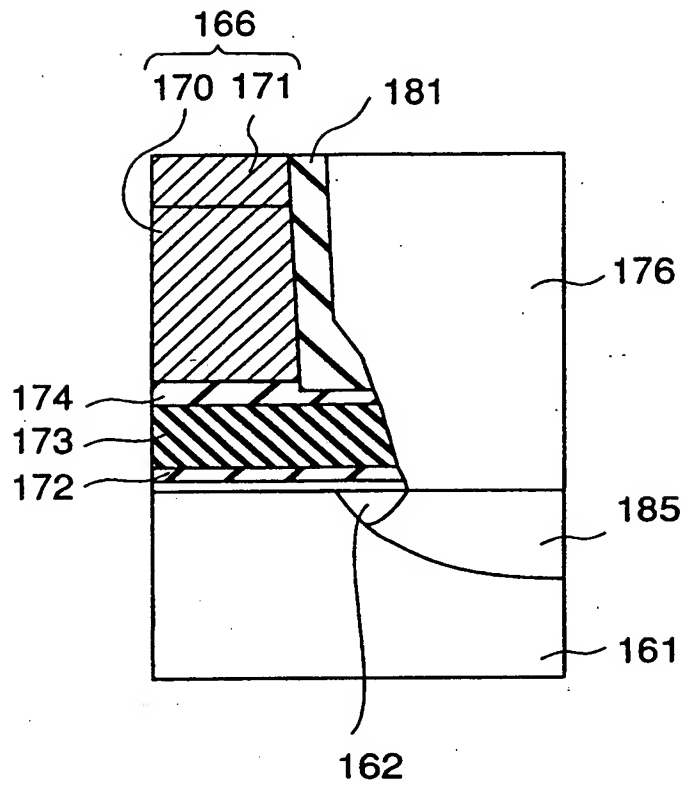
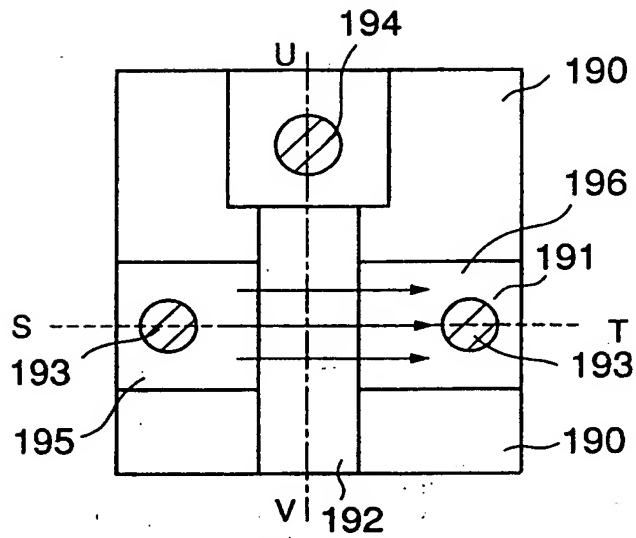
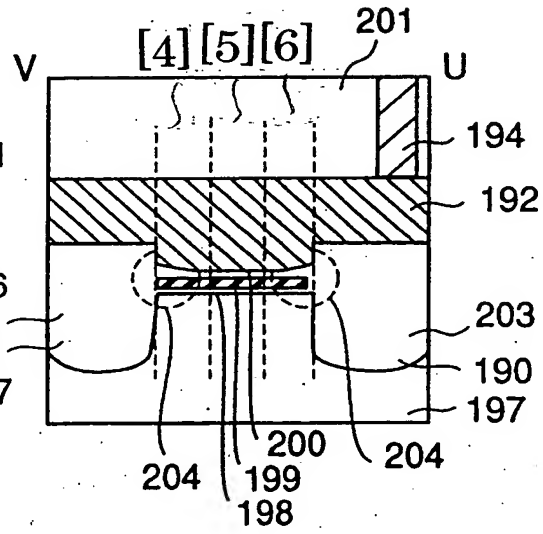
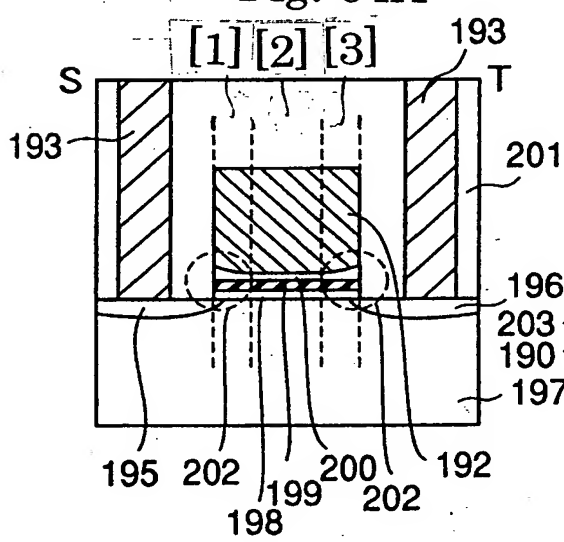


Fig. 63



→
Direction of Currents
Flowing



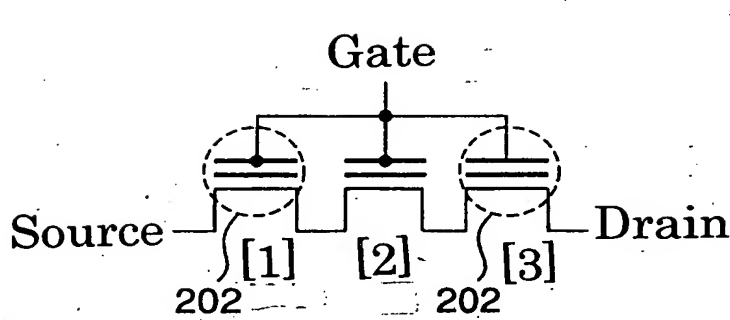


Fig. 65A

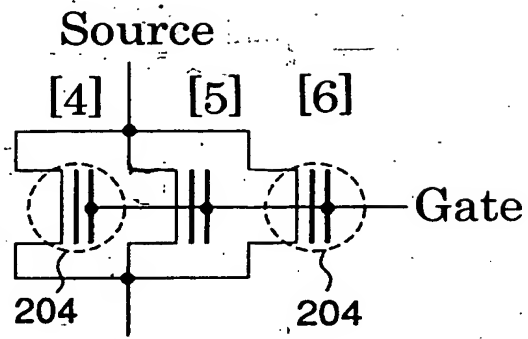


Fig. 65B

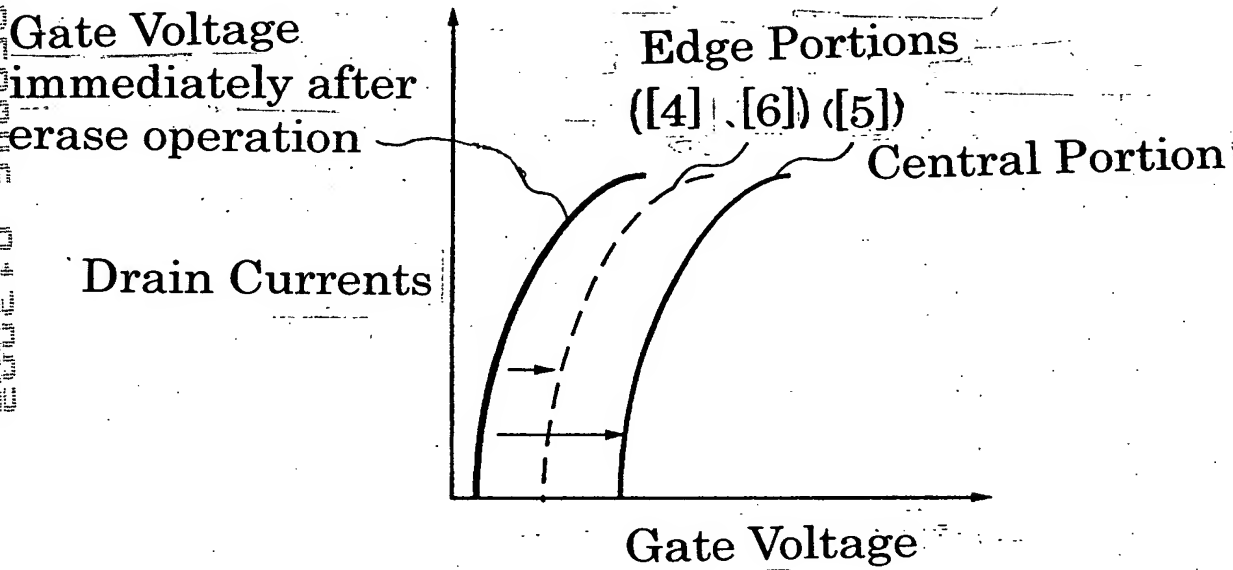


Fig. 65C

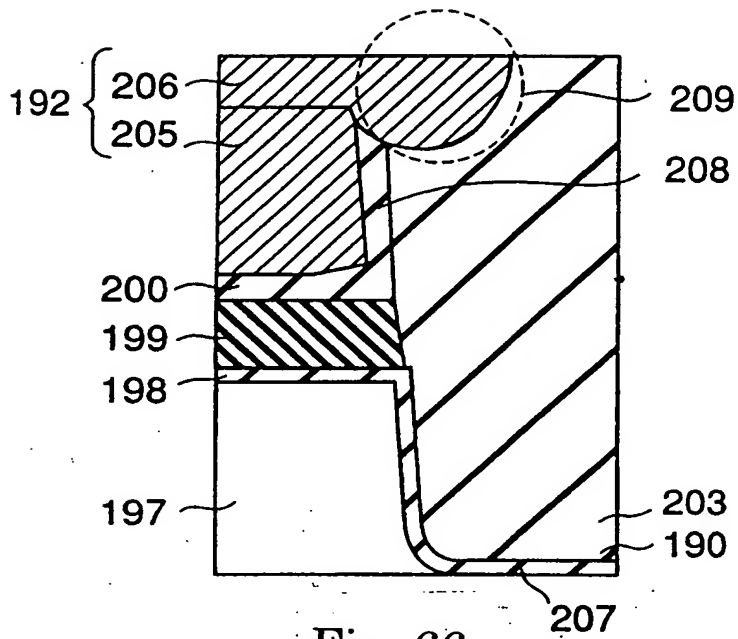


Fig. 66

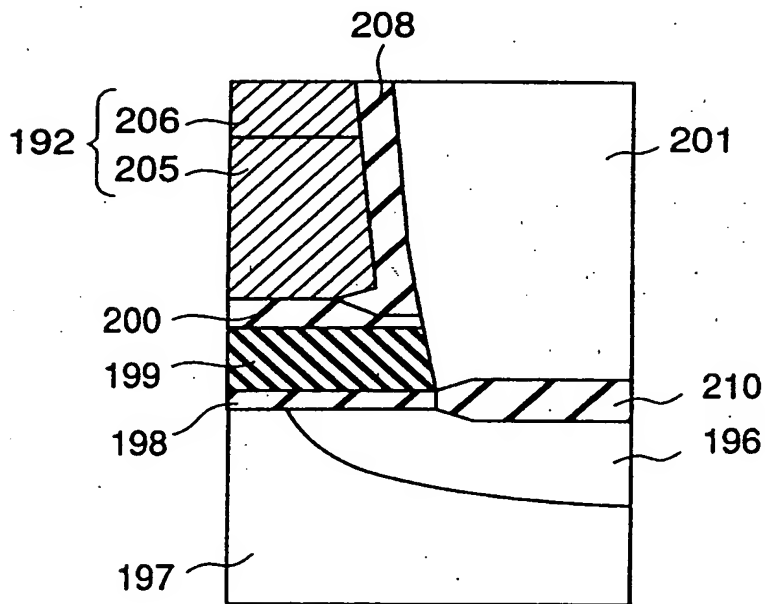


Fig. 67

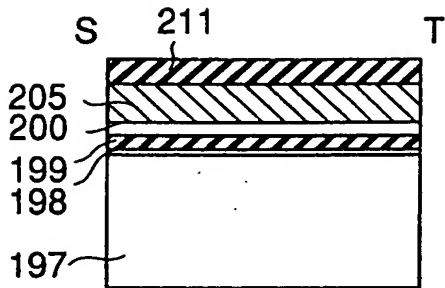


Fig. 68A

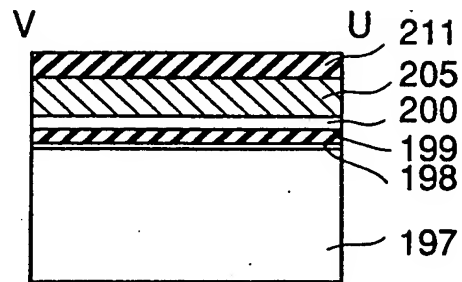


Fig. 68B

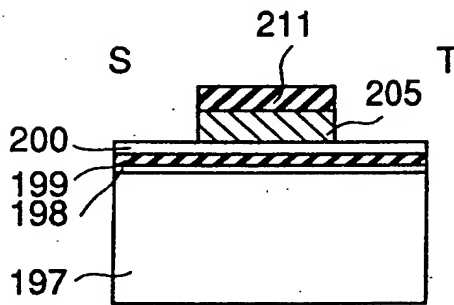


Fig. 69A

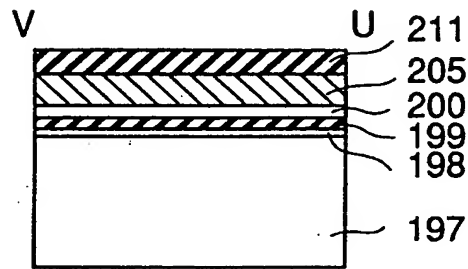


Fig. 69B

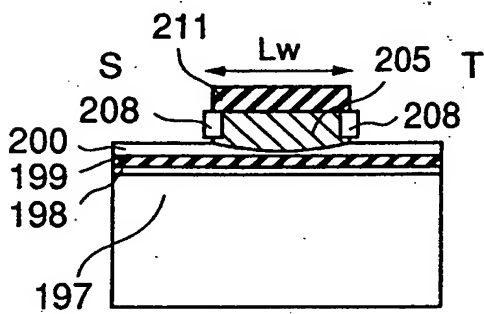


Fig. 70A

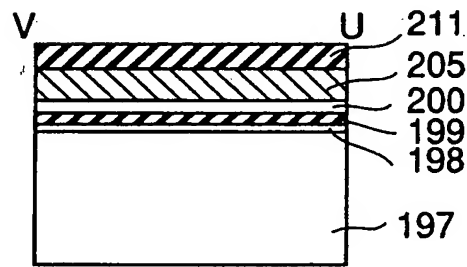


Fig. 70B

200E.T0 "Sheet 35 of 49"

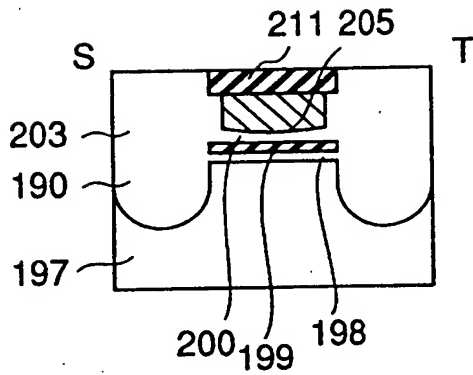


Fig. 71A

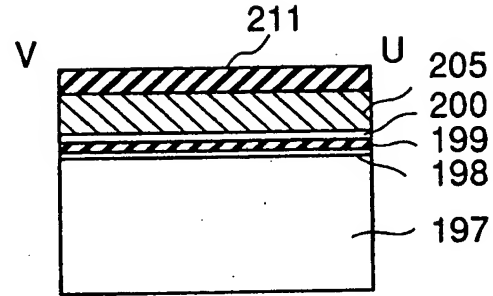


Fig. 71B

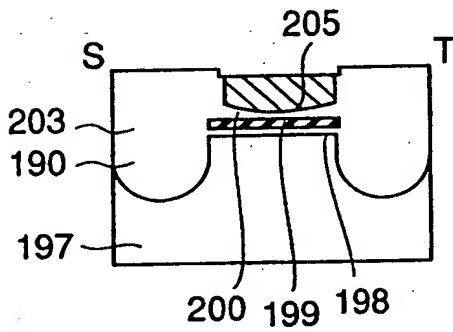


Fig. 72A

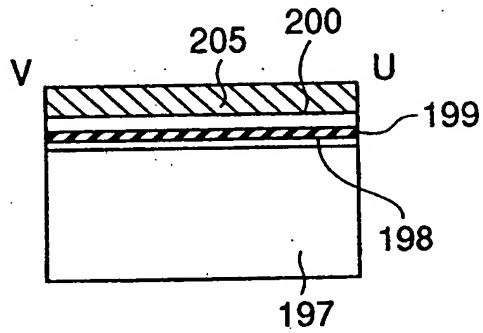


Fig. 72B

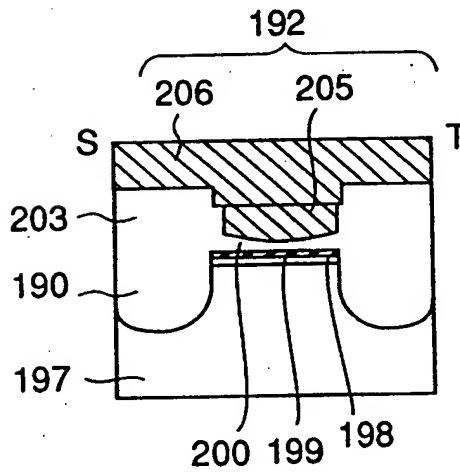


Fig. 73A

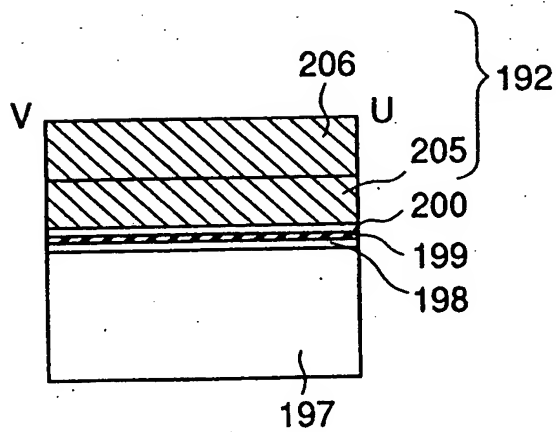


Fig. 73B

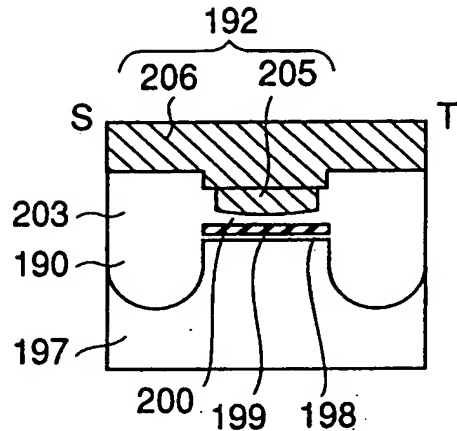


Fig. 74A

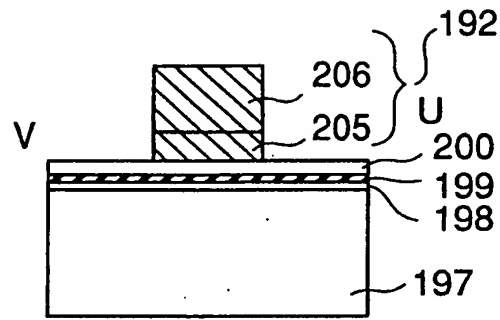


Fig. 74B

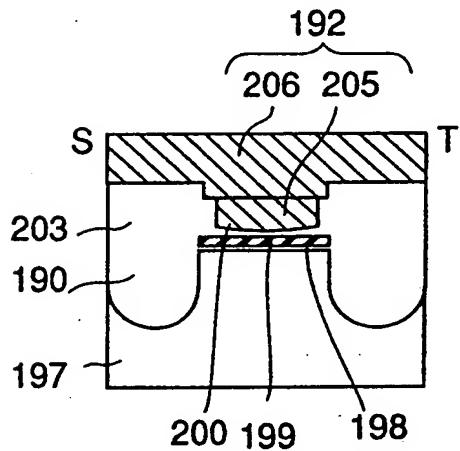


Fig. 75A

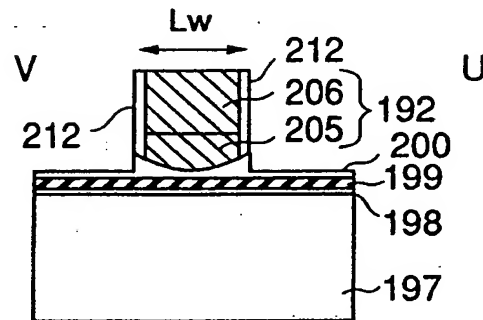


Fig. 75B

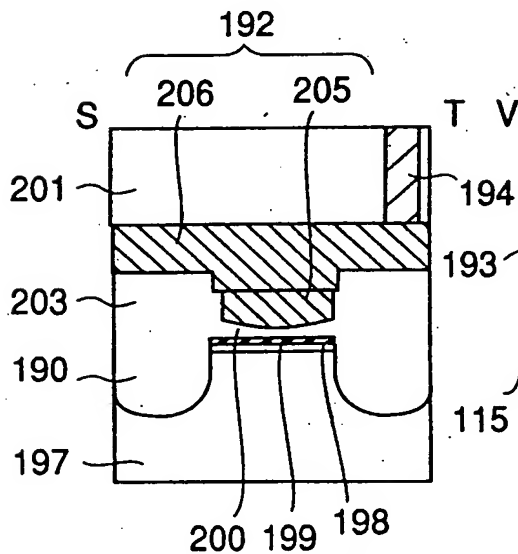


Fig. 76A

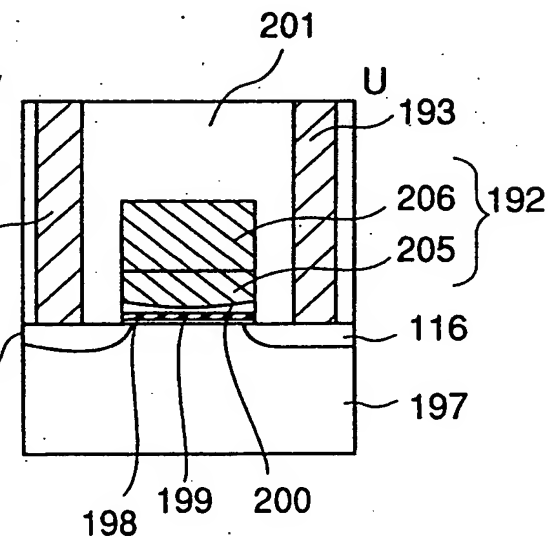


Fig. 76B

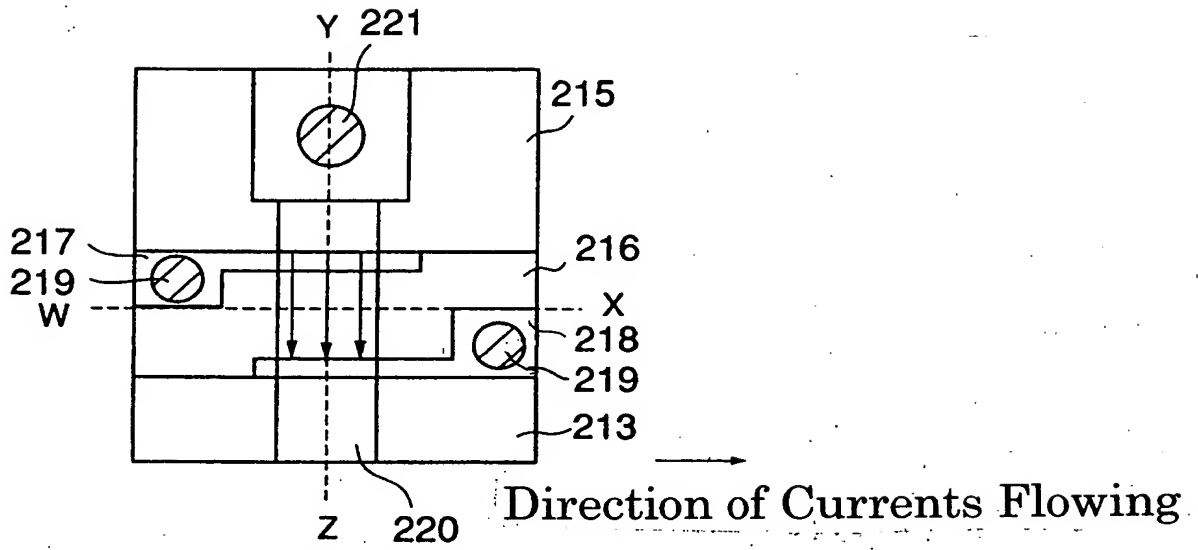


Fig. 77A

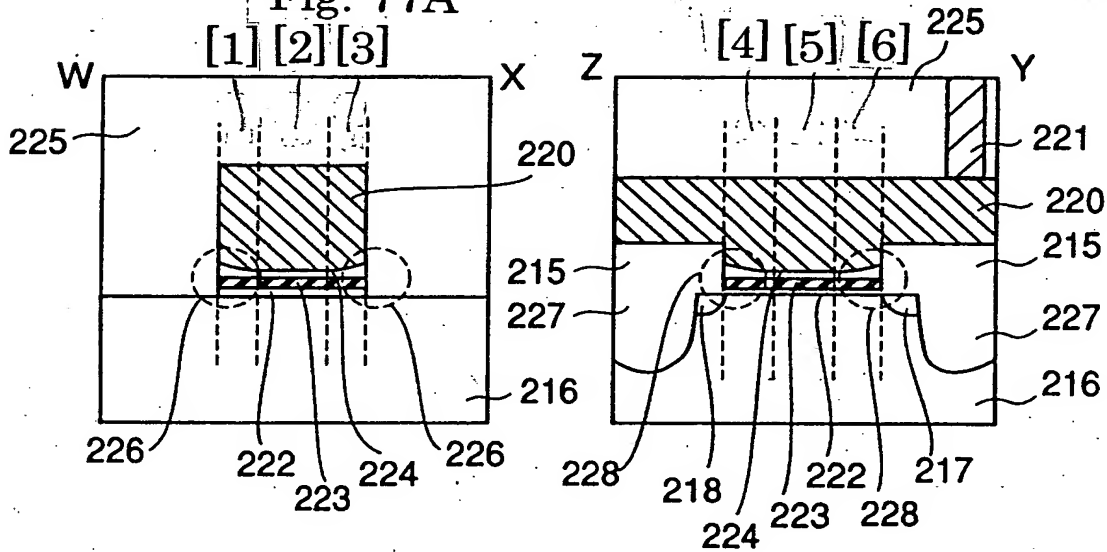


Fig. 77B

Fig. 77C

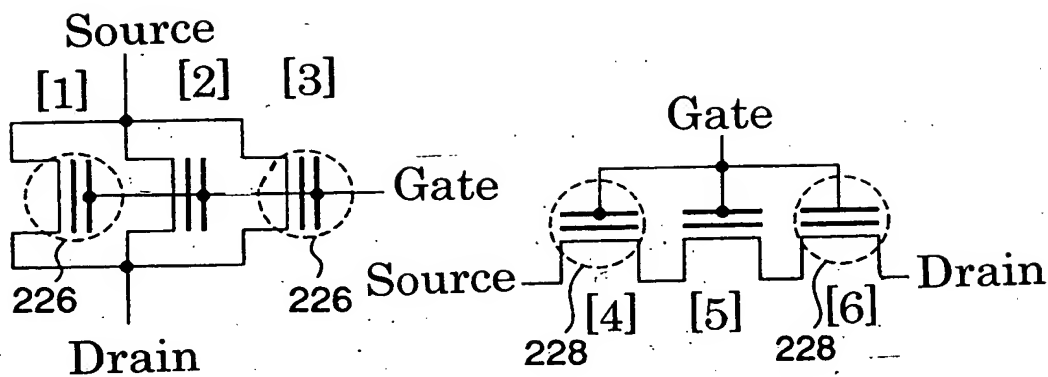


Fig. 78A

Fig. 78B

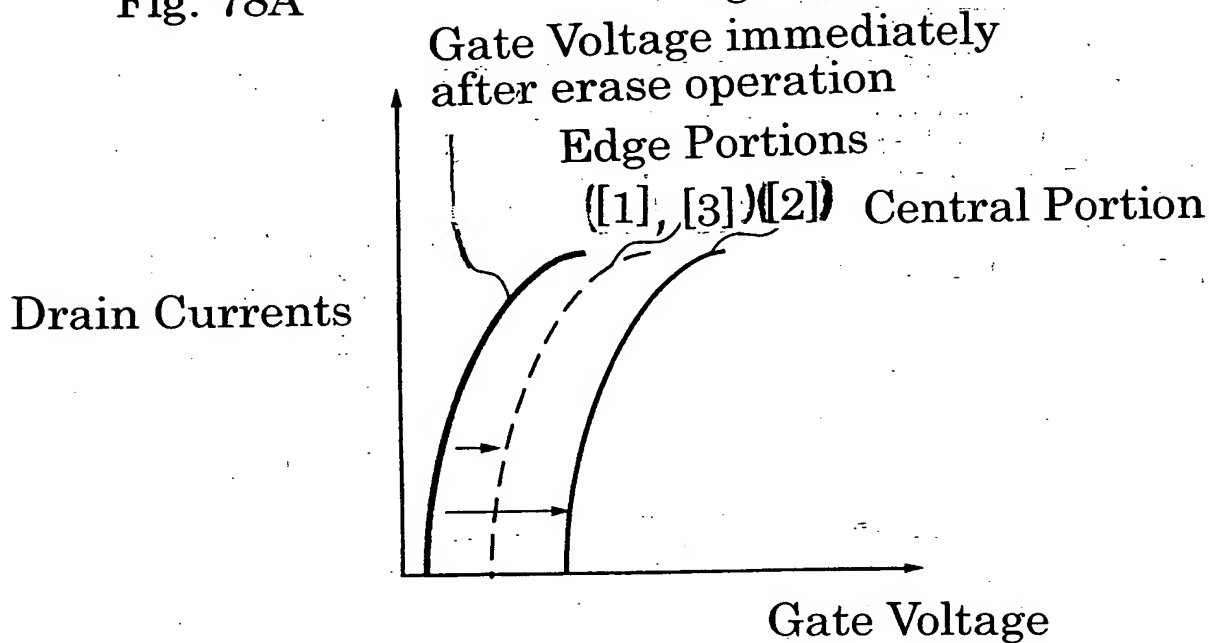


Fig. 78C

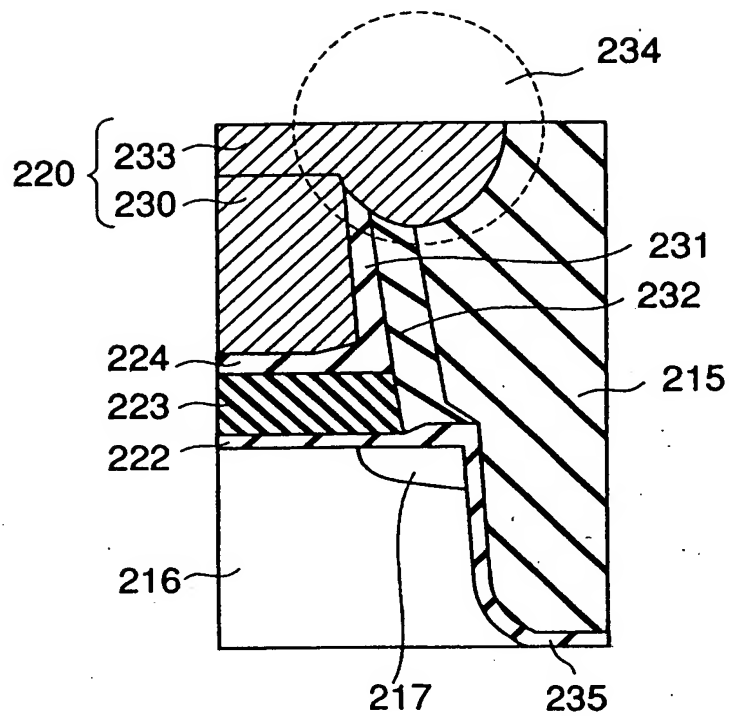


Fig. 79

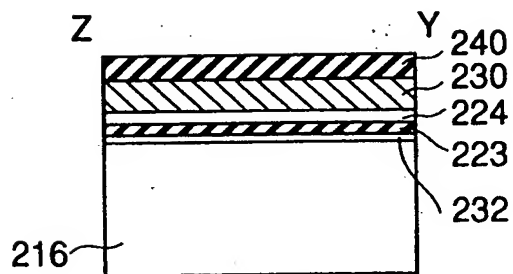


Fig. 80A

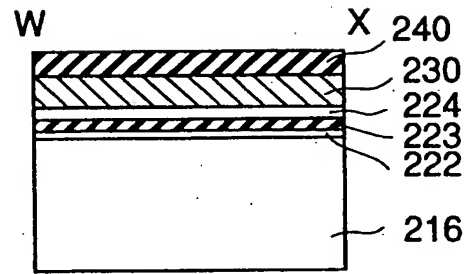


Fig. 80B

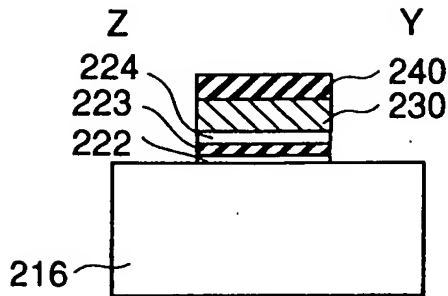


Fig. 81A

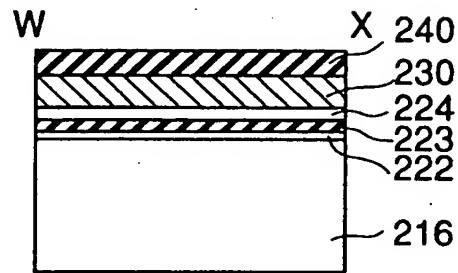


Fig. 81B

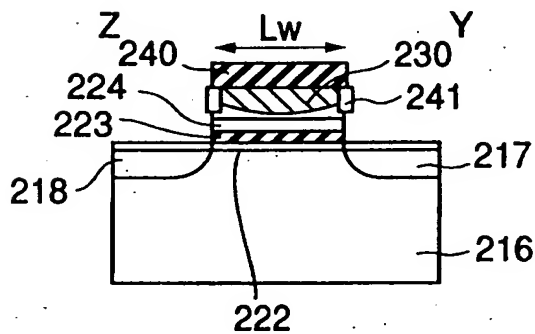


Fig. 82A

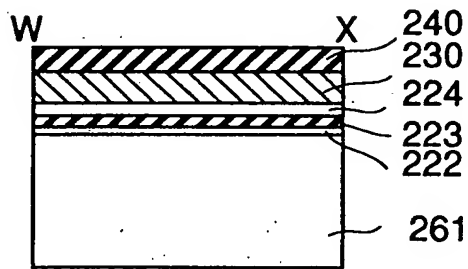


Fig. 82B

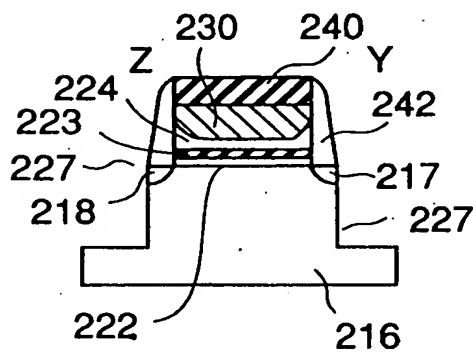


Fig. 83A

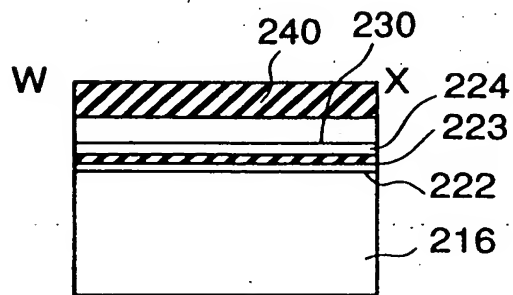


Fig. 83B

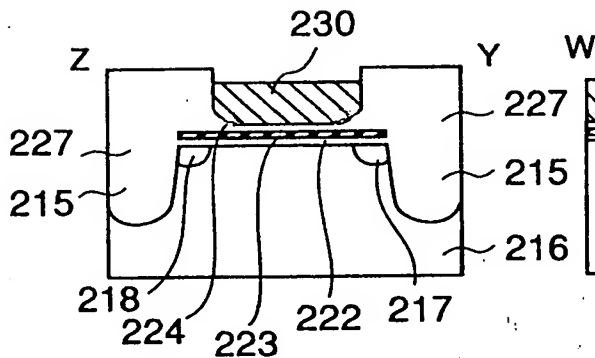


Fig. 84A

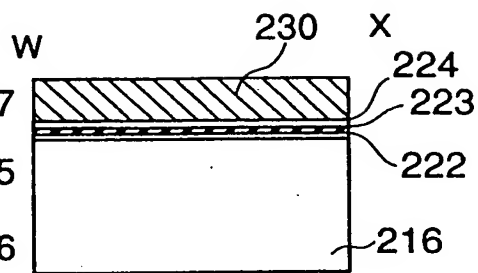


Fig. 84B

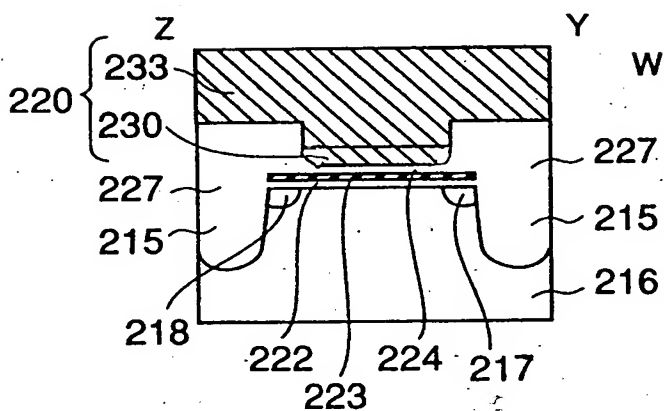


Fig. 85A

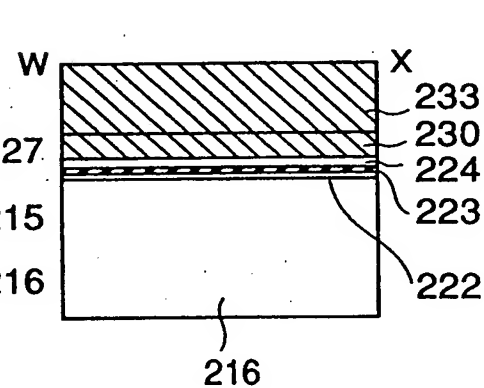


Fig. 85B

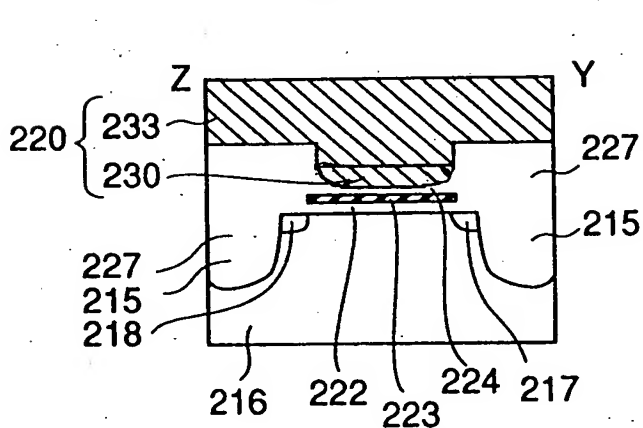


Fig. 86A

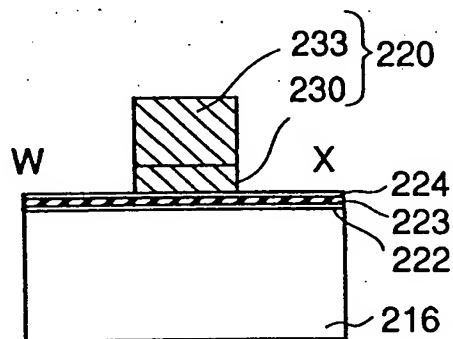


Fig. 86B

2025 RELEASE UNDER E.O. 14176

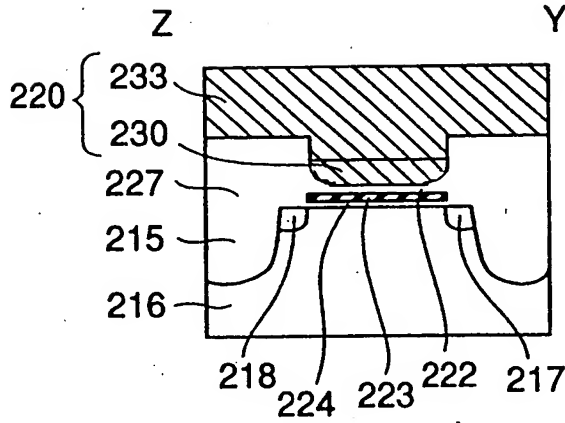


Fig. 87A

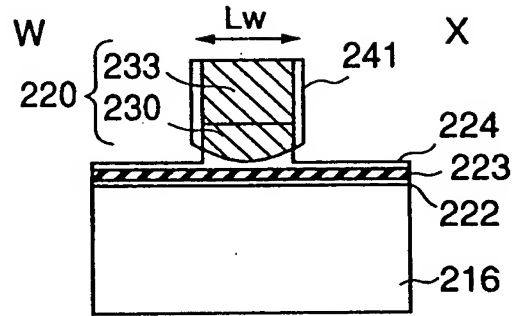


Fig. 87B

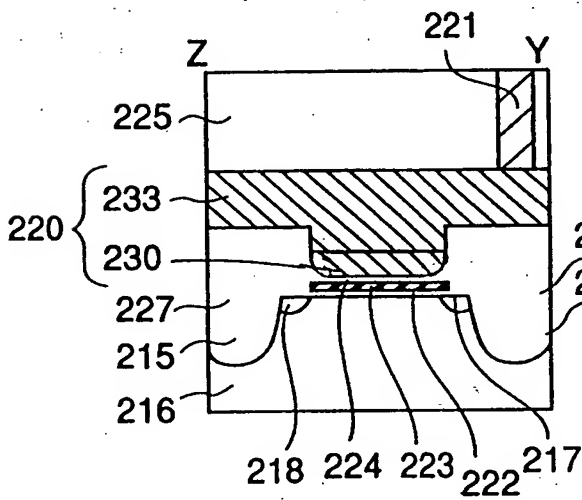


Fig. 88A

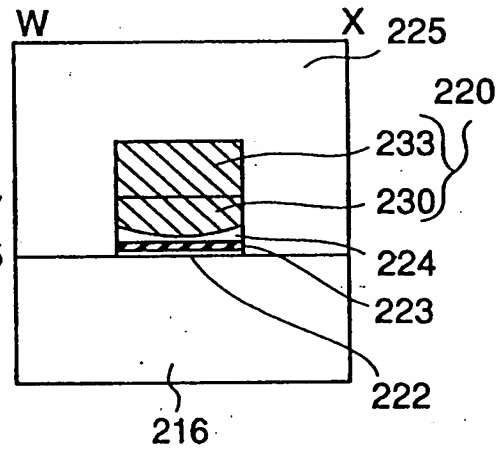


Fig. 88B

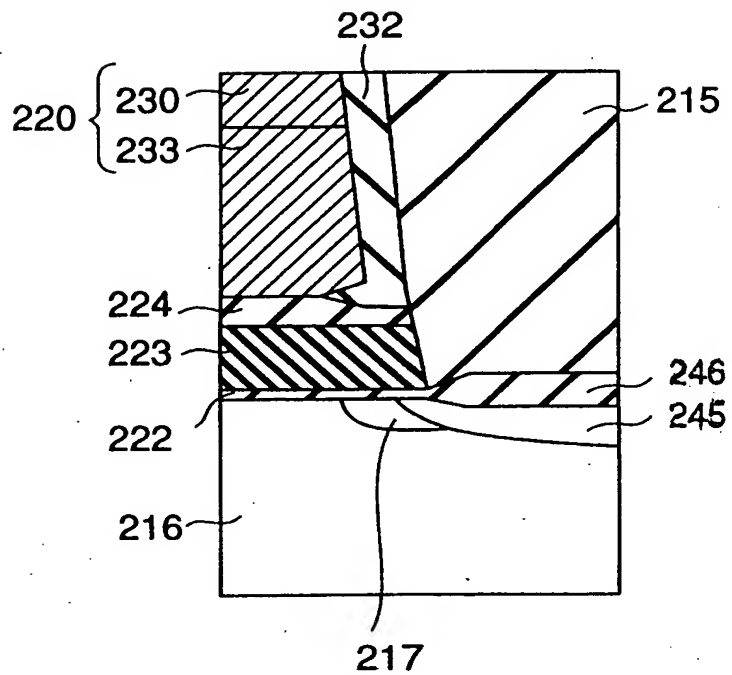


Fig. 89

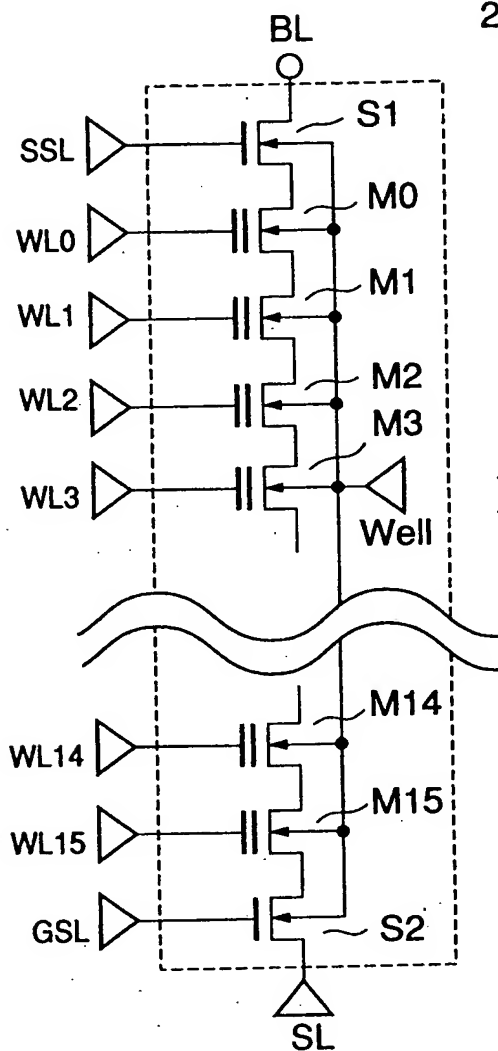


Fig. 90A

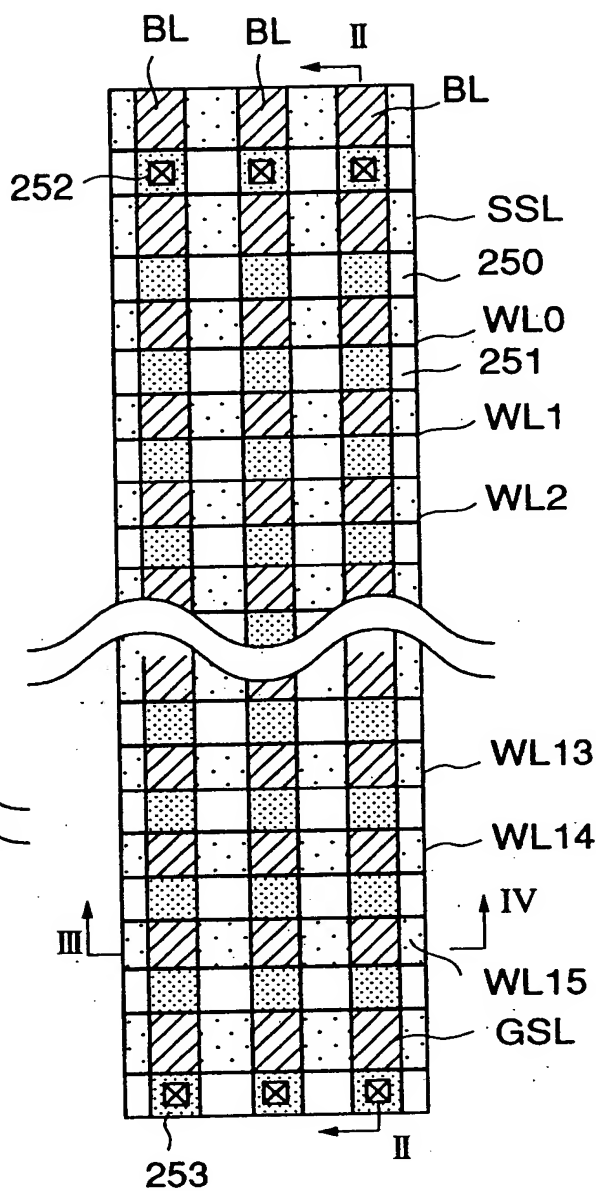


Fig. 90B

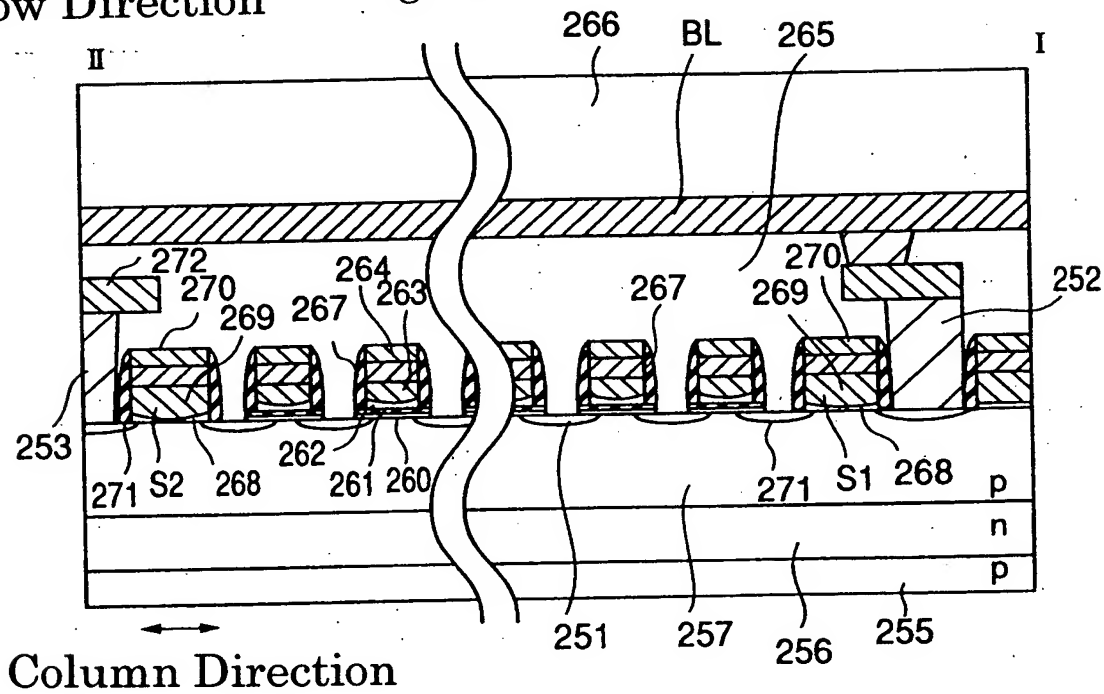
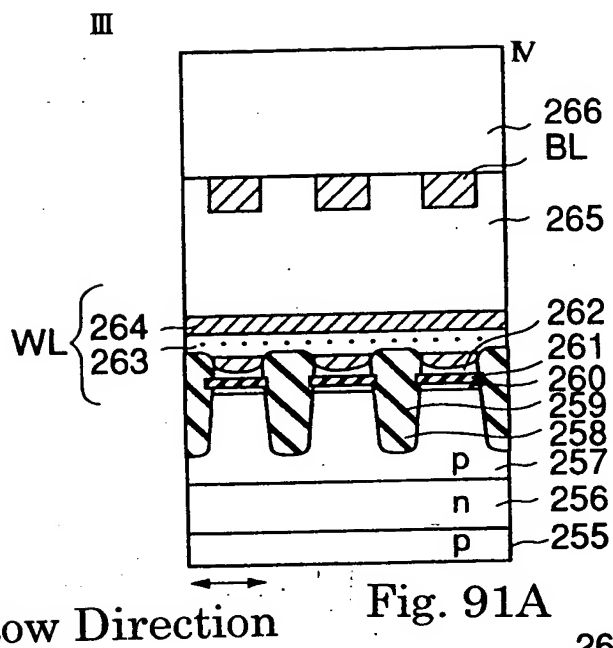


Fig. 91B

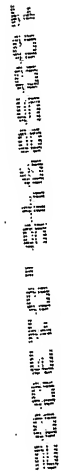
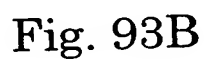
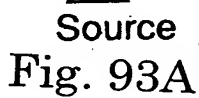


Fig. 92



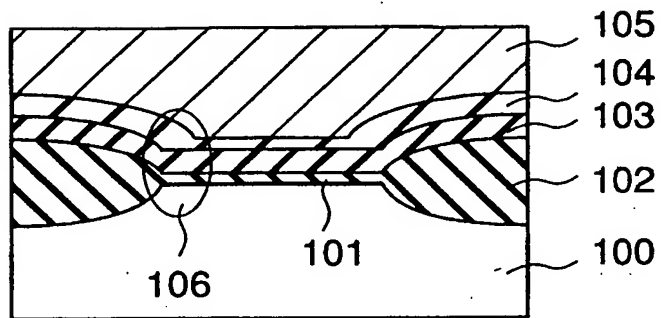


Fig. 94

(Related Art)

2007-03-20 14:00:00